



# Численные методы для расчета течения жидкости и тромбообразования в подвижных областях

Кирилл Терехов<sup>1,2,4</sup>, Иван Бутаков<sup>2</sup>, Александр Данилов<sup>1,2,3,4</sup>, Юрий Василевский<sup>1,2,3,4</sup>

<sup>1</sup>ИВМ РАН, <sup>2</sup>МФТИ, <sup>3</sup>Сеченовский Университет, <sup>4</sup>Университет Сириус

Рабочая группа по математическим моделям и численным методам в биологии и медицине

**БИОМАТН 2023, 3 ноября**



## Прогресс в этом году

- Поиск математической модели тромбообразования:
  - (Иван Бутаков, студент МФТИ, доклад)
- Сегментация и сетки ушка предсердия:
  - (Валерия Гаева, студентка МФТИ)
- Блочные многосеточные методы для совместной схемы Навье-Стокс-коагуляция.
- Проекционная схема:
  - Маленький шаг, но проще работать с реакциями;
  - Решение системы Био в стенках и тромбе.
- Доклад далее по результатам прошлого года

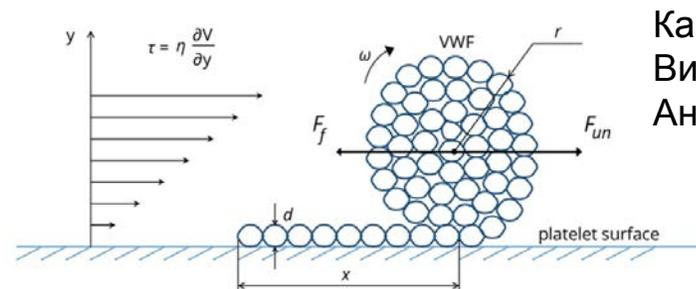
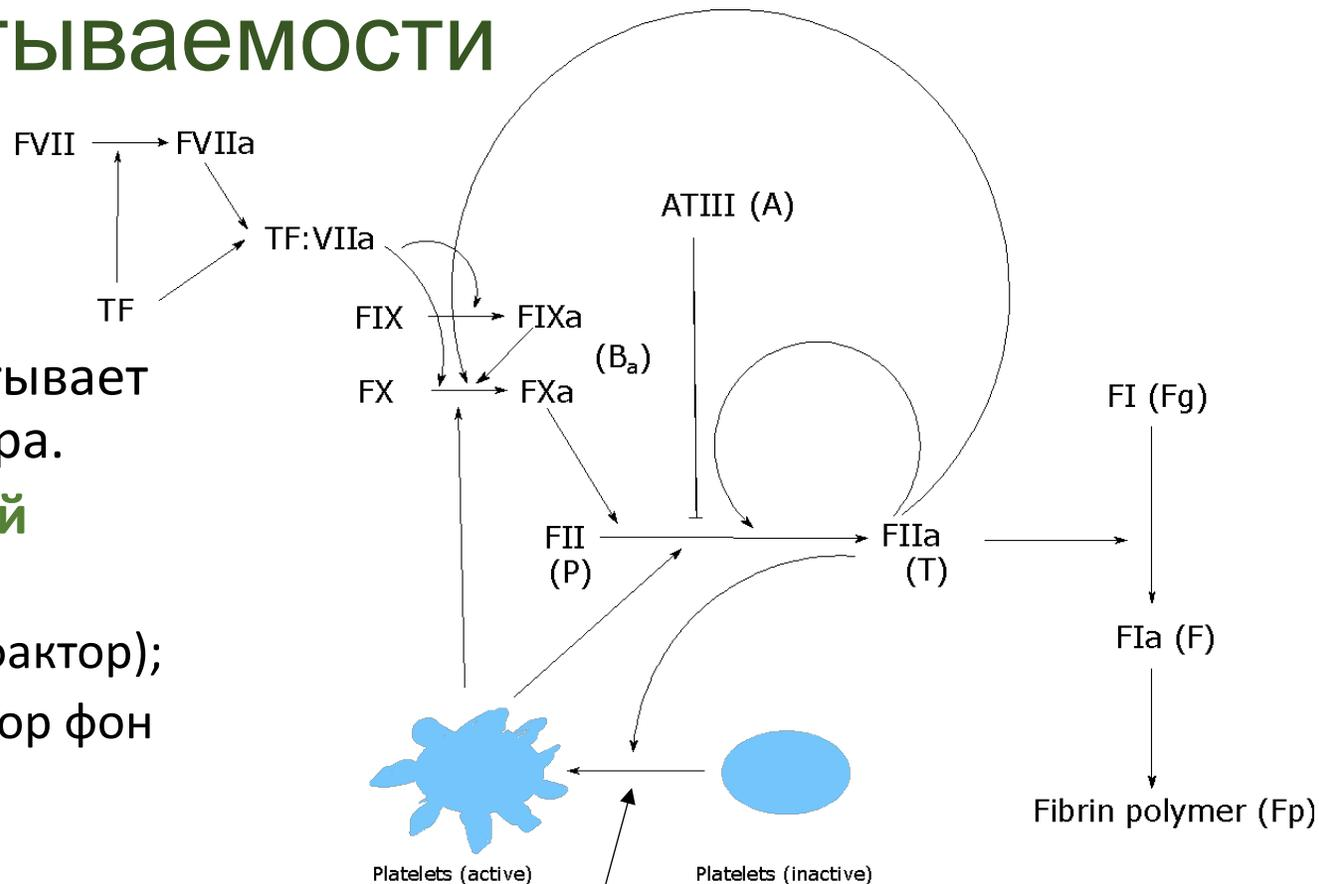
# Задача

система и нюансы



# Модель свертываемости

- Сопряжение моделей:
  - **Гемодинамическая** модель учитывает проницаемость фибрин-полимера.
  - Модель **биохимических реакций** свертываемости плазмы крови:
    - Из-за повреждения (тканевой фактор);
    - Из-за сдвиговой скорости (фактор фон Виллебранда).
  - Модель **тромбоцитов**.
- **Каскад реакций** и модель **тромбоцитов** являются **жесткими**.
- **Полностью неявная** интеграция модели.



Каскад реакции (упрощенный):  
Виталий Вольперт,  
Анасс Бушнита

фактор фон Виллебранда (картинка из Guria et al)



# Система течения и свертывания крови

- Система уравнений Навье-Стокса:

$$\frac{\partial \rho \mathbf{u}}{\partial t} + \operatorname{div}(\rho \mathbf{u} \mathbf{u}^T - \boldsymbol{\tau} + p \mathbb{I}) = -\frac{\mu}{K_f} \mathbf{u},$$

$$\operatorname{div}(\rho \mathbf{u}) = 0,$$

$$\boldsymbol{\tau} = 2\mu \boldsymbol{\epsilon}, \quad \boldsymbol{\epsilon} = \frac{1}{2}(\mathbf{u} \nabla^T + \nabla \mathbf{u}^T), \quad \dot{\gamma} = \|\boldsymbol{\epsilon}\|_F,$$

- Протромбин (II): 
$$\frac{\partial P}{\partial t} + \operatorname{div}(P \mathbf{u} - D \nabla P) = -(k_1 \phi_c + k_2 B_a + t(T))P,$$
- Тромбин (IIa): 
$$\frac{\partial T}{\partial t} + \operatorname{div}(T \mathbf{u} - D \nabla T) = (k_1 \phi_c + k_2 B_a + t(T))P - k_6 g(A, T),$$
- Факторы свертывания (IXa, Xa): 
$$\frac{\partial B_a}{\partial t} + \operatorname{div}(B_a \mathbf{u} - D \nabla B_a) = (k_7 \phi_c + k_8 T)(B_0 - B_a) - k_9 A B_a,$$
- Антитромбин (АТIII): 
$$\frac{\partial A}{\partial t} + \operatorname{div}(A \mathbf{u} - D \nabla A) = -k_6 g(A, T) - k_9 A B_a,$$
- Фибриноген (I): 
$$\frac{\partial F_g}{\partial t} + \operatorname{div}(F_g \mathbf{u} - D \nabla F_g) = -\frac{k_{10} T F_g}{K_{10} + F_g},$$

Продолжается далее...



# Система течения и свертывания крови

- Система уравнений Навье-Стокса:

$$\frac{\partial \rho \mathbf{u}}{\partial t} + \operatorname{div}(\rho \mathbf{u} \mathbf{u}^T - \boldsymbol{\tau} + p \mathbb{I}) = -\frac{\mu}{K_f} \mathbf{u},$$
$$\operatorname{div}(\rho \mathbf{u}) = 0,$$
$$\boldsymbol{\tau} = 2\mu \boldsymbol{\epsilon}, \quad \boldsymbol{\epsilon} = \frac{1}{2}(\mathbf{u} \nabla^T + \nabla \mathbf{u}^T), \quad \dot{\gamma} = \|\boldsymbol{\epsilon}\|_F,$$

Седловая система

Проницаемость тромба

- Протромбин (II):
$$\frac{\partial P}{\partial t} + \operatorname{div}(P \mathbf{u} - D \nabla P) = -(k_1 \phi_c + k_2 B_a + t(T))P,$$
- Тромбин (IIa):
$$\frac{\partial T}{\partial t} + \operatorname{div}(T \mathbf{u} - D \nabla T) = (k_1 \phi_c + k_2 B_a + t(T))P - k_6 g(A, T),$$
- Факторы свертывания (IXa, Xa):
$$\frac{\partial B_a}{\partial t} + \operatorname{div}(B_a \mathbf{u} - D \nabla B_a) = (k_7 \phi_c + k_8 T)(B_0 - B_a) - k_9 A B_a,$$
- Антитромбин (ATIII):
$$\frac{\partial A}{\partial t} + \operatorname{div}(A \mathbf{u} - D \nabla A) = -k_6 g(A, T) - k_9 A B_a,$$
- Фибриноген (I):
$$\frac{\partial F_g}{\partial t} + \operatorname{div}(F_g \mathbf{u} - D \nabla F_g) = -\frac{k_{10} T F_g}{K_{10} + F_g},$$

Продолжается далее...



# Система течения и свертывания крови

- Фибрин (Ia): 
$$\frac{\partial F}{\partial t} + \operatorname{div}(F\mathbf{u} - D\nabla F) = \frac{k_{10}TFg}{K_{10}+Fg} - k_{11}F,$$
- Фибрин-полимер: 
$$\frac{\partial F_p}{\partial t} = k_{11}F,$$
- Неактивные тромбоциты: 
$$\frac{\partial \phi_f}{\partial t} + \operatorname{div}\left(k(\phi_c, \phi_f)(\phi_f\mathbf{u} - D_p\nabla\phi_f)\right) = (k_{12}T - k_{13}\phi_c - K\gamma^n)\phi_f,$$
- Активированные тромбоциты: 
$$\frac{\partial \phi_c}{\partial t} + \operatorname{div}\left(k(\phi_c, \phi_f)(\phi_c\mathbf{u} - D_p\nabla\phi_c)\right) = -(k_{12}T - k_{13}\phi_c - K\gamma^n)\phi_f,$$
- Мобильность тромбоцитов: 
$$k(\phi_c, \phi_f) = \tanh\left(\pi\left(1 - \frac{\phi_c + \phi_f}{\phi_{max}}\right)\right),$$
- Антикоагулянт: 
$$g(A, T) = \frac{ATH}{\alpha k_{AT}k_T + \alpha k_{AT}T + \alpha k_TA + AT},$$
 Генерация тромбина: 
$$t(T) = k_3T + k_4T^2 + k_5T^3.$$
- Проницаемость: 
$$\frac{1}{K_f} = \frac{16}{\alpha^2} \phi_p^{\frac{3}{2}} \left(1 + 56\phi_p\right) \frac{\phi_{max} + \phi_c}{\phi_{max} - \phi_c}, \quad \phi_p = \min\left(\frac{7}{10}, \frac{F_p}{7000}\right)$$
- Bouchnita, A., Terekhov, K., Nony, P., Vassilevski, Y., & Volpert, V.: **A mathematical model to quantify the effects of platelet count, shear rate, and injury size on the initiation of blood coagulation under venous flow conditions.** PloS one, 15(7), e0235392, 2020



# Система течения и свертывания крови

- Фибрин (Ia):  $\frac{\partial F}{\partial t} + \text{div}(F\mathbf{u} - D\nabla F) = \frac{k_{10}TFg}{K_{10}+Fg} - k_{11}F$  **Неподвижный фибрин-полимер**

- Фибрин-полимер:  $\frac{\partial F_p}{\partial t} = k_{11}F$  **фактор фон-Виллебранда (Hellums, Goodman)**

- Неактивные тромбоциты:  $\frac{\partial \phi_f}{\partial t} + \text{div}(k(\phi_c, \phi_f)(\phi_f\mathbf{u} - D_p\nabla\phi_f)) = (k_{12}T - k_{13}\phi_c - K\gamma^n)\phi_f$

- Активированные тромбоциты:  $\frac{\partial \phi_c}{\partial t} + \text{div}(k(\phi_c, \phi_f)(\phi_c\mathbf{u} - D_p\nabla\phi_c)) = -(k_{12}T - k_{13}\phi_c - K\gamma^n)\phi_f$

- Мобильность тромбоцитов:  $k(\phi_c, \phi_f) = \tanh\left(\pi\left(1 - \frac{\phi_c + \phi_f}{\phi_{max}}\right)\right)$  **Монотонно убывающая (Leiderman et al)**

- Антикоагулянт:  $g(A, T) = \frac{ATH}{\alpha k_{AT}k_T + \alpha k_{AT}T + \alpha k_TA + AT}$ , Генерация тромбина:  $t(T) = k_3T + k_4T^2 + k_5T^3$ .

- Проницаемость:  $\frac{1}{K_f} = \frac{16}{\alpha^2} \phi_p^{\frac{3}{2}} (1 + 56\phi_p) \frac{\phi_{max} + \phi_c}{\phi_{max} - \phi_c}$ ,  $\phi_p = \min\left(\frac{r}{10}, \frac{r_p}{7000}\right)$  **Модель Гриффитса (Griffith)**

- Bouchnita, A., Terekhov, K., Nony, P., Vassilevski, Y., & Volpert, V.: *A mathematical model to quantify the effects of platelet count, shear rate, and injury size on the initiation of blood coagulation*. *Journal of Mathematical Biology*, 55(7), 2005-2020. **Для насыщенной тромбоцитами плазмы (Wufsus et al)**



# Граничные условия

- ГУ на поврежденном эндотелии:

$$\frac{\partial B_\alpha}{\partial \mathbf{n}} = \frac{\alpha(B^0 - B_\alpha)}{1 + \beta(B^0 - B_\alpha)}$$

- ГУ для жидкости:

- Нет проскальзывания на границах
- Заданное давление на входе и выходе

- ГУ типа Дирихле на входе и Неймана на остальных стенках для компонент крови.

- Параметры модели:

- из литературы (Griffith, Goodman, Hokin et al, Kuharsky, Leiderman, Fogelson, Wiebe et al, Tsian et al, ...),
- из 0-мерной модели генерации тромбина, подобраны.

# Численные методы

методы конечных объемов на подвижных сетках  
интегрирование систем реакций



# Система уравнений Навье-Стокса

- Система уравнений **Навье-Стокса**:

$$\begin{cases} \frac{\partial \rho \mathbf{u}}{\partial t} + \operatorname{div}(\rho \mathbf{u} \mathbf{u}^T - \mu(\mathbf{u} \nabla^T + \nabla \mathbf{u}^T)) + \nabla p = \mathbf{g}, \\ \operatorname{div}(\rho \mathbf{u}) = 0. \end{cases}$$

- Формулировка в терминах **четыре-градиента**:

$$\begin{pmatrix} \rho \mathbf{u} \mathbf{u}^T - \mu(\mathbf{u} \nabla^T + \nabla \mathbf{u}^T) + p \mathbb{I} & \rho \mathbf{u} \\ \rho \mathbf{u}^T & \end{pmatrix} \begin{pmatrix} \nabla \\ \partial_t \end{pmatrix} = \begin{pmatrix} \mathbf{g} \\ 0 \end{pmatrix},$$

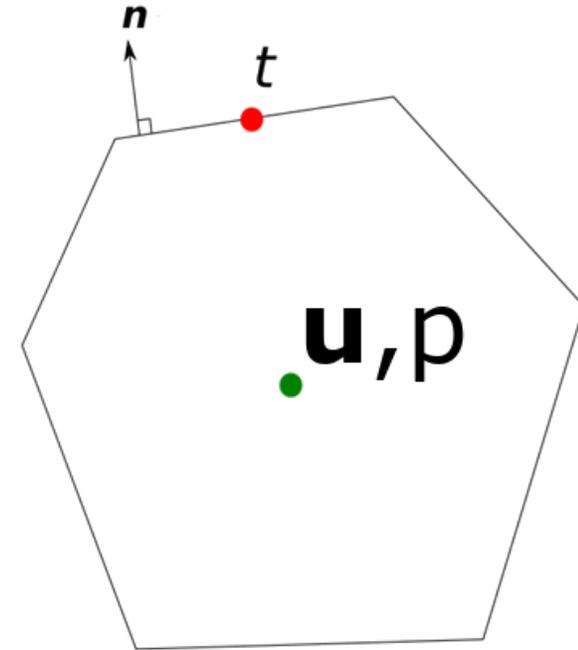
- Формула **Остроградского-Гаусса** для интеграла:

$$\oint \begin{pmatrix} \rho \mathbf{u} \mathbf{u}^T - \mu(\mathbf{u} \nabla^T + \nabla \mathbf{u}^T) + p \mathbb{I} & \rho \mathbf{u} \\ \rho \mathbf{u}^T & \end{pmatrix} \begin{pmatrix} \mathbf{n} \\ n_t \end{pmatrix} dS = \int \begin{pmatrix} \mathbf{g} \\ 0 \end{pmatrix} dV,$$

- Дискретизация по граням:

$$\sum_f |f(t)| \mathbf{t} = |V(t)| \begin{bmatrix} \mathbf{g} \\ 0 \end{bmatrix}, \quad \mathbf{t} = \begin{pmatrix} \rho \mathbf{u}(\mathbf{u}^T \mathbf{n} + n_t) - \mu(\mathbf{u} \nabla^T + \nabla \mathbf{u}^T) \mathbf{n} + p \mathbf{n} \\ \rho \mathbf{u}^T \mathbf{n} \end{pmatrix},$$

- Требуется аппроксимация потока  $\mathbf{t}$  на гранях.





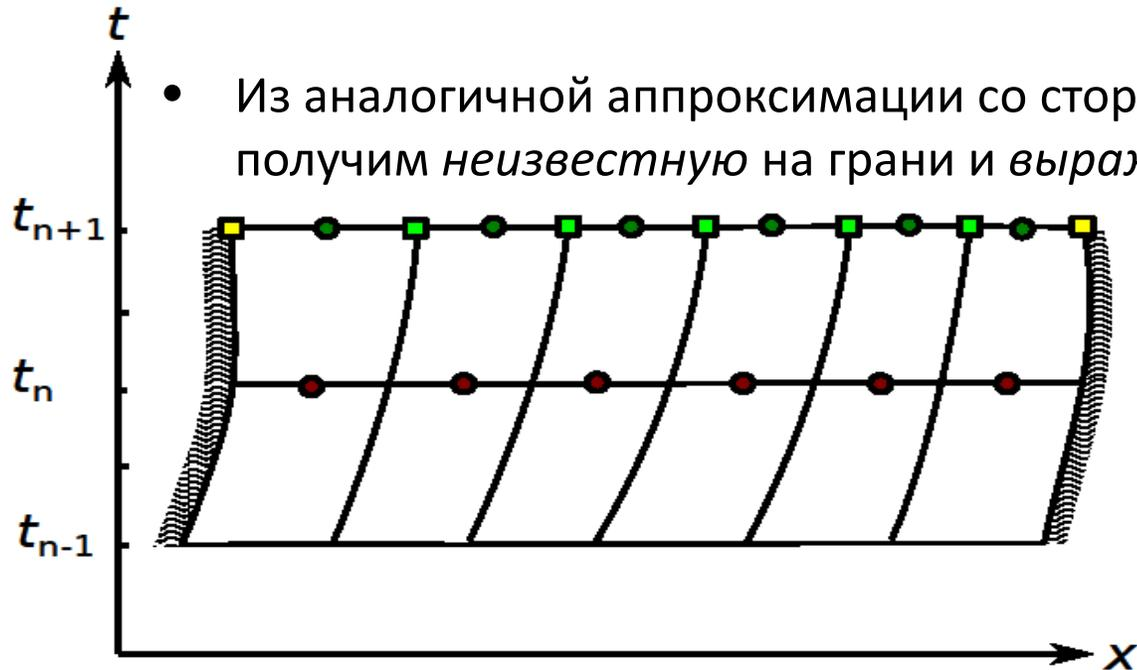
# Аппроксимация потока

- **Аппроксимация** потока  $t$  на грани из ячейки с помощью разложения Тейлора:

$$t \approx \begin{bmatrix} \left(a_1 + \frac{\mu}{r_1}\right) (\mathbb{I} + \mathbf{nn}^T) - \frac{\rho}{2} (\mathbf{n}^T \mathbf{u}_1 \mathbb{I} + \mathbf{u}_1 \mathbf{n}^T) & \\ & b_1 \end{bmatrix} \begin{bmatrix} u_1 \\ p_1 \end{bmatrix} - \begin{bmatrix} \left(a_1 + \frac{\mu}{r_1}\right) (\mathbb{I} + \mathbf{nn}^T) - \rho (\mathbf{n}^T \mathbf{u}_1 \mathbb{I} + \mathbf{u}_1 \mathbf{n}^T) - \rho n_t \mathbb{I} & -\mathbf{n} \\ & b_1 \end{bmatrix} \begin{bmatrix} u_f \\ p_f \end{bmatrix} \\ + \left( \begin{bmatrix} \left(a_1 + \frac{\mu}{r_1}\right) (\mathbb{I} + \mathbf{nn}^T) & \\ & b_1 \end{bmatrix} \otimes (\mathbf{x}_f - \mathbf{x}_1) - \begin{bmatrix} \mu \mathbb{I} & 0 \\ & 0 \end{bmatrix} \otimes [\mathbf{n}^T \ 0] - [\mathbf{n}^T \ 0] \otimes \begin{bmatrix} \mu \mathbb{I} & 0 \\ & 0 \end{bmatrix} \right) \begin{bmatrix} u_1 \\ p_1 \end{bmatrix} \otimes \nabla,$$

- где  $a_1, b_1$  - параметры **стабилизации** конвективной и седловой неустойчивостей.

- Из аналогичной аппроксимации со стороны соседней ячейки или из граничных условий получим *неизвестную* на грани и *выражение на поток*.



- Расчет градиентов методом наименьших квадратов.
- Метод **первого порядка** дискретизации по времени (аналог обратного метода Эйлера)



# Адвекция-диффузия компонент крови

- Система уравнений **переноса-диффузии**:

$$\frac{\partial c}{\partial t} + \text{div}(\mathbf{u}c - D\nabla c) = r, \rightarrow (\mathbf{u}^T c - D\nabla c \cdot \mathbf{c}) \left( \frac{\nabla}{\partial t} \right) = r, \rightarrow \oint (\mathbf{u}^T c - D\nabla c^T \cdot \mathbf{c}) \left( \frac{\mathbf{n}}{n_t} \right) dS = \int r dV, \rightarrow \sum_f |f(t)|q = |V(t)|r,$$

$$q = c(\mathbf{n}^T \mathbf{u} + n_t) - D\mathbf{n}^T \nabla c.$$

- Нелинейный перенос-диффузия** для тромбоцитов:

$$\frac{\partial}{\partial t} \begin{bmatrix} \phi_f \\ \phi_c \end{bmatrix} + \text{div} \left( k(\phi_c, \phi_f) \begin{bmatrix} \mathbf{u}^T \phi_f - D_p \nabla \phi_f^T \\ \mathbf{u}^T \phi_c - D_p \nabla \phi_c^T \end{bmatrix} \right) = \begin{bmatrix} r_{\phi_f} \\ r_{\phi_c} \end{bmatrix}, \rightarrow \left( k(\phi_c, \phi_f) \begin{bmatrix} \mathbf{u}^T \phi_f - D_p \nabla \phi_f^T \\ \mathbf{u}^T \phi_c - D_p \nabla \phi_c^T \end{bmatrix} \begin{bmatrix} \phi_f \\ \phi_c \end{bmatrix} \right) \left( \frac{\nabla}{\partial t} \right) = \begin{bmatrix} r_{\phi_f} \\ r_{\phi_c} \end{bmatrix},$$
$$\rightarrow \oint \left( k(\phi_c, \phi_f) \begin{bmatrix} \mathbf{u}^T \phi_f - D_p \nabla \phi_f^T \\ \mathbf{u}^T \phi_c - D_p \nabla \phi_c^T \end{bmatrix} \begin{bmatrix} \phi_f \\ \phi_c \end{bmatrix} \right) \left( \frac{\mathbf{n}}{n_t} \right) dS = \int \begin{bmatrix} r_{\phi_f} \\ r_{\phi_c} \end{bmatrix} dV, \rightarrow \sum_f |f(t)|\mathbf{q}_p = |V(t)| \begin{bmatrix} r_{\phi_f} \\ r_{\phi_c} \end{bmatrix},$$

$$\mathbf{q}_p = (k(\phi_c, \phi_f)\mathbf{n}^T \mathbf{u} + n_t) \begin{bmatrix} \phi_f \\ \phi_c \end{bmatrix} - k(\phi_c, \phi_f)D_p \begin{bmatrix} \mathbf{n}^T \nabla \phi_f \\ \mathbf{n}^T \nabla \phi_c \end{bmatrix}.$$

- Требуется аппроксимация потоков  $q$  и  $\mathbf{q}_p$  на гранях. Нелинейный поток аппроксимируется с помощью метода Тейлора. В обоих случаях применяется **стабилизация**.

Terekhov K., Butakov I., Danilov A., Vassilevski Yu.: **Dynamic adaptive moving mesh finite-volume method for the blood flow and coagulation modeling**. Numerical methods in biomedical engineering. **Submitted**.



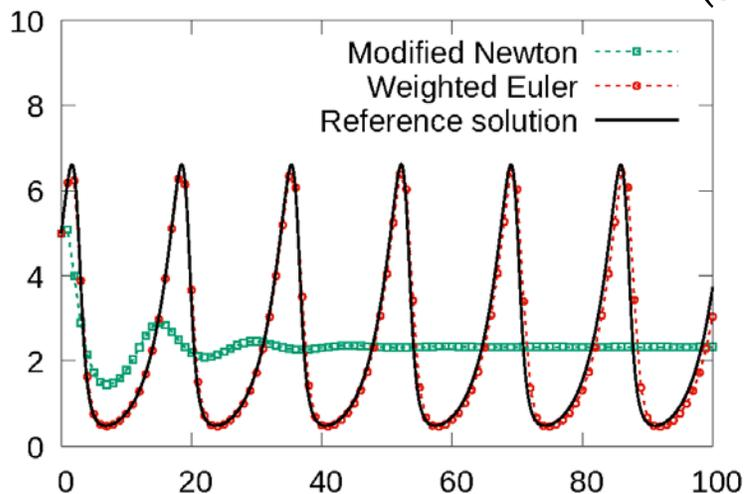
# Аппроксимация каскада реакций

- Система уравнений переноса-диффузии:

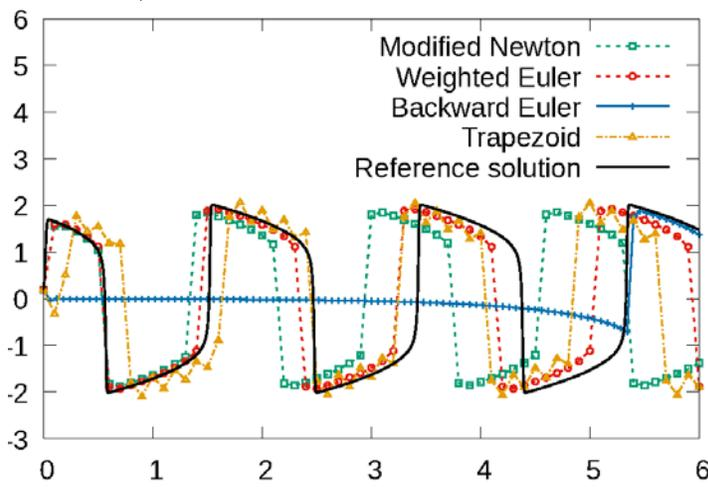
$$\frac{\partial \mathbf{x}}{\partial t} = \mathbf{r}, \rightarrow |V^{n+1}| \mathbf{x}^{n+1} - |V^n| \mathbf{x}^n = |V(t)| (\mathbf{W} \mathbf{r}^{n+1} + (\mathbb{I} - \mathbf{W}) \mathbf{r}^n),$$

- где  $\mathbf{W}$  – матричный коэффициент, фильтрующий спектр якобиана  $\mathbf{J} = \frac{\partial \mathbf{r}^{n+1}}{\partial \mathbf{x}^T}$ , и воспроизводящий экспоненциальный интегратор:

$$\mathbf{W} = \phi \left( \frac{|V(t)|}{|V^{n+1}|} \mathbf{J} \right), \quad \phi(z) = z^{-1} - (e^z - 1)^{-1}.$$



Система Лотки-Вольтерры



Система Ван дер Поля

Доклад Ивана Бутакова

I. Butakov and K. Terekhov **Two Methods for the Implicit Integration of Stiff Reaction Systems**. Computational Methods in Applied Mathematics, 2022



# Публикации по методам

- K. Terekhov, B. Mallison, and H. Tchelepi. **Cell-centered nonlinear finite-volume methods for the heterogeneous anisotropic diffusion problem.** Journal of Computational Physics, 2017.
- K. Terekhov, and Yu. Vassilevski. **Finite volume method for coupled subsurface flow problems, I: Darcy problem.** Journal of Computational Physics, 2019
- K. Terekhov, and H. Tchelepi. **Cell-centered finite-volume method for elastic deformation of heterogeneous media with full-tensor properties.** Journal of Computational and Applied Mathematics, 2020
- K. Terekhov. **Cell-centered finite-volume method for heterogeneous anisotropic poromechanics problem.** Journal of Computational and Applied Mathematics, 2020
- K. Terekhov. **Collocated Finite-Volume Method for the Incompressible Navier-Stokes Problem,** Journal of Numerical Mathematics, 2020
- Yu. Vassilevski, K. Terekhov, K. Nikitin, I. Kapryin. **Parallel finite volume computation on general meshes,** Springer Book, 2020
- K. Terekhov. **Multi-physics flux coupling for hydraulic fracturing modelling within INMOST platform.** Russian Journal of Numerical Analysis and Mathematical Modelling, 2020
- K. Terekhov. **Fully-Implicit Collocated Finite-Volume Method for the Unsteady Incompressible Navier-Stokes Problem,** Lecture Notes in Computational Science and Engineering, 2021
- K. Terekhov. **General finite-volume framework for saddle-point problems of various physics.** Russian Journal of Numerical Analysis and Mathematical Modelling, 2021
- K. Terekhov, and Yu. Vassilevski. **Finite volume method for coupled subsurface flow problems, II: Poroelasticity.** Journal of Computational Physics, 2022
- K. Terekhov **Pressure boundary conditions in the collocated finite-volume method for the steady Navier–Stokes equations.** Computational Mathematics and Mathematical Physics, 2022
- I.. Butakov and K. Terekhov **Two Methods for the Implicit Integration of Stiff Reaction Systems.** Computational Methods in Applied Mathematics, 2022
- K. Terekhov, I. Butakov, A. Danilov, Yu. Vassilevski **Dynamic adaptive moving mesh finite-volume method for the blood flow and coagulation modeling.** International Journal for Numerical Methods in Biomedical Engineering, 2023

# Расчеты течения крови

уравнения Навье-Стокса



# Верификация: течение Эшера-Стейнмана

Аналитическое решение.

Диаметр сферы – 1 мм,

Скорость движения центра сферы –  $w$ ,

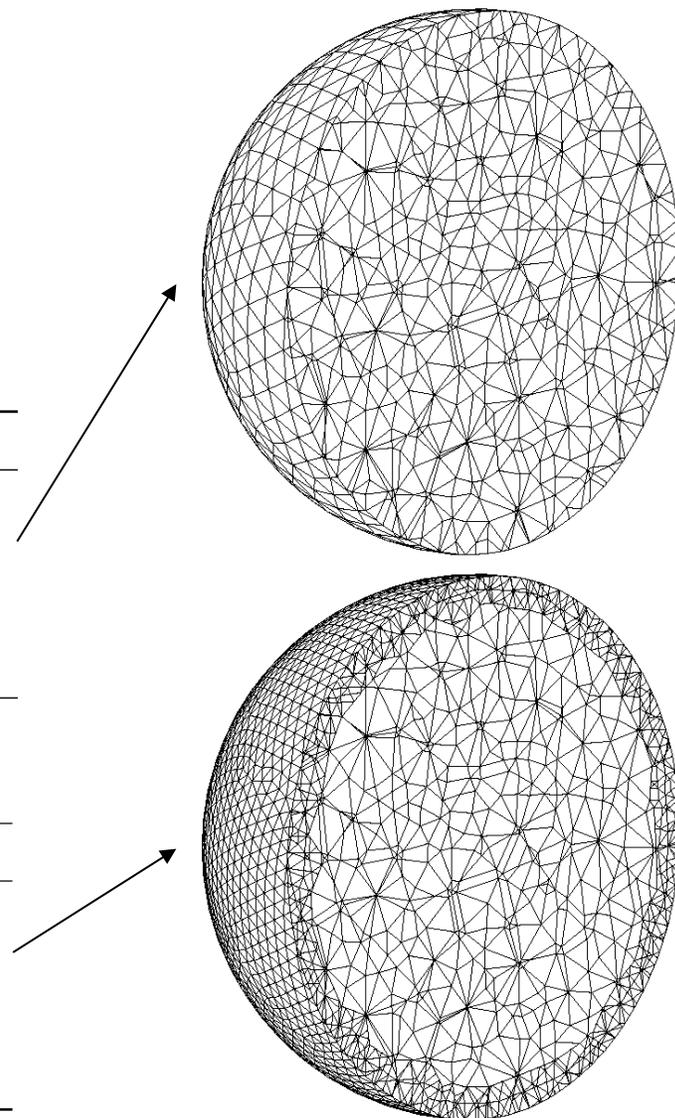
Плотность крови –  $0.00106 \text{ г} \cdot \text{мм}^{-3}$ ,

Вязкость крови –  $0.0035 \text{ г} \cdot \text{мм}^{-1} \cdot \text{с}^{-1}$

На подвижной сетке

$\Omega(t)$	$\Delta t$	$ \Omega(t) $	static, $w = 0$ [ $\text{mm} \cdot \text{s}^{-1}$ ]		moving, $w = 1$ [ $\text{mm} \cdot \text{s}^{-1}$ ]	
			$\ \mathbf{u}_h - \mathbf{u}\ _{L_2}$	$\ p_h - p\ _{L_2}$	$\ \mathbf{u}_h - \mathbf{u}\ _{L_2}$	$\ p_h - p\ _{L_2}$
$\Omega_1$	1/50	249	$3.96 \cdot 10^{-3}$	$2.16 \cdot 10^{-1}$	$4.84 \cdot 10^{-3}$	$2.07 \cdot 10^{-1}$
$\Omega_2$	1/100	1343	$1.22 \cdot 10^{-3}$	$9.34 \cdot 10^{-2}$	$1.49 \cdot 10^{-3}$	$8.89 \cdot 10^{-2}$
$\Omega_3$	1/200	9748	$3.00 \cdot 10^{-4}$	$3.76 \cdot 10^{-2}$	$3.61 \cdot 10^{-4}$	$3.49 \cdot 10^{-2}$
$\Omega_4$	1/400	67405	$8.51 \cdot 10^{-5}$	$1.67 \cdot 10^{-2}$	$9.94 \cdot 10^{-5}$	$1.53 \cdot 10^{-2}$
rate			<b>1.82</b>	<b>1.17</b>	<b>1.86</b>	<b>1.19</b>

$\Omega(t)$	$\Delta t$	$ \Omega(t) $	static, $w = 0$ [ $\text{mm} \cdot \text{s}^{-1}$ ]		moving, $w = 1$ [ $\text{mm} \cdot \text{s}^{-1}$ ]	
			$\ \mathbf{u}_h - \mathbf{u}\ _{L_2}$	$\ p_h - p\ _{L_2}$	$\ \mathbf{u}_h - \mathbf{u}\ _{L_2}$	$\ p_h - p\ _{L_2}$
$\Omega_1^a$	1/50	1866	$1.36 \cdot 10^{-3}$	$1.27 \cdot 10^{-1}$	$1.64 \cdot 10^{-3}$	$9.93 \cdot 10^{-2}$
$\Omega_2^a$	1/100	8168	$5.36 \cdot 10^{-4}$	$6.78 \cdot 10^{-2}$	$6.34 \cdot 10^{-4}$	$5.97 \cdot 10^{-2}$
$\Omega_3^a$	1/200	40604	$1.53 \cdot 10^{-4}$	$3.09 \cdot 10^{-2}$	$1.70 \cdot 10^{-4}$	$2.73 \cdot 10^{-2}$
$\Omega_4^a$	1/400	193272	$5.21 \cdot 10^{-5}$	$1.50 \cdot 10^{-2}$	$5.04 \cdot 10^{-5}$	$1.34 \cdot 10^{-2}$
rate			<b>1.55</b>	<b>1.04</b>	<b>1.75</b>	<b>1.03</b>





# Верификация: сжимающийся цилиндр

Аналитическое решение.

Длина цилиндра – 8 мм.

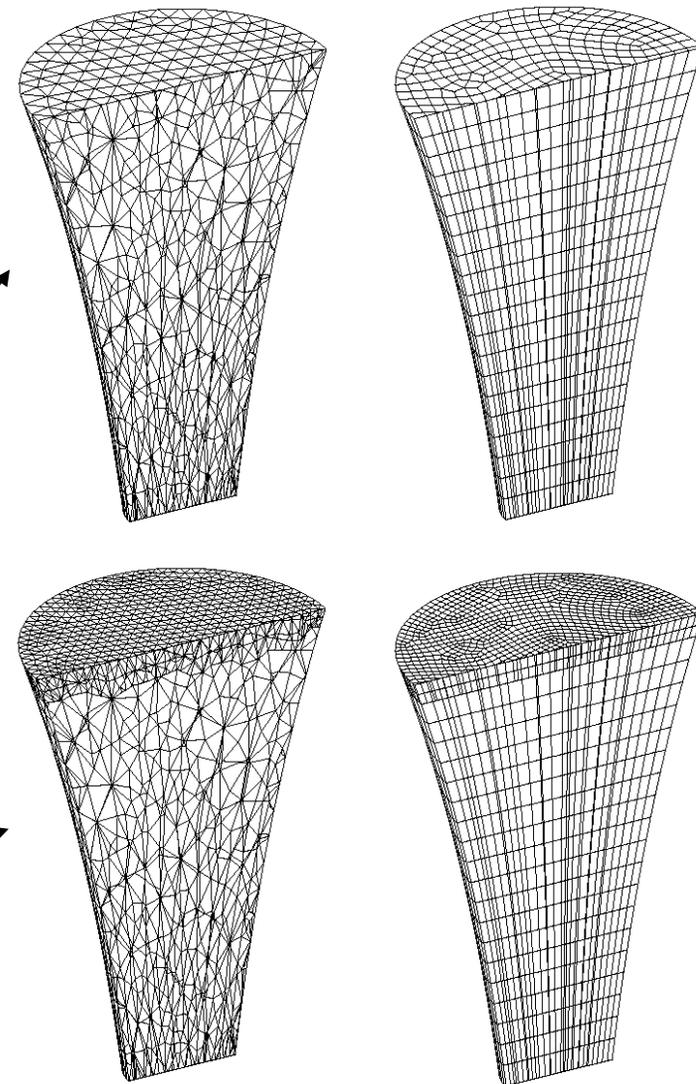
Диаметр цилиндра –  $[1:e] \cdot (1 - t/4)$  мм,

Плотность крови –  $0.00106 \text{ г} \cdot \text{мм}^{-3}$ ,

Вязкость крови –  $0.0035 \text{ г} \cdot \text{мм}^{-1} \cdot \text{с}^{-1}$

$\Omega(t)$	$\Delta t$	tetrahedral			hexahedral		
		$ \Omega(t) $	$\ \mathbf{u}_h - \mathbf{u}\ _{L_2}$	$\ p_h - p\ _{L_2}$	$ \Omega(t) $	$\ \mathbf{u}_h - \mathbf{u}\ _{L_2}$	$\ p_h - p\ _{L_2}$
$\Omega_1$	1/25	376	$4.95 \cdot 10^{-2}$	$5.05 \cdot 10^{-1}$	160	$1.04 \cdot 10^{-1}$	$1.52 \cdot 10^{-0}$
$\Omega_2$	1/50	1668	$1.33 \cdot 10^{-2}$	$5.40 \cdot 10^{-1}$	1060	$1.56 \cdot 10^{-2}$	$3.32 \cdot 10^{-1}$
$\Omega_3$	1/100	10186	$4.77 \cdot 10^{-3}$	$2.43 \cdot 10^{-1}$	7740	$3.65 \cdot 10^{-3}$	$1.60 \cdot 10^{-1}$
$\Omega_4$	1/200	73856	$2.07 \cdot 10^{-3}$	$1.01 \cdot 10^{-1}$	60520	$1.49 \cdot 10^{-3}$	$7.29 \cdot 10^{-2}$
rate	-	-	<b>1.20</b>	<b>1.27</b>	-	<b>1.29</b>	<b>1.13</b>

$\Omega(t)$	$\Delta t$	tetrahedral			hexahedral		
		$ \Omega(t) $	$\ \mathbf{u}_h - \mathbf{u}\ _{L_2}$	$\ p_h - p\ _{L_2}$	$ \Omega(t) $	$\ \mathbf{u}_h - \mathbf{u}\ _{L_2}$	$\ p_h - p\ _{L_2}$
$\Omega_1^a$	1/25	1104	$4.99 \cdot 10^{-2}$	$4.82 \cdot 10^{-1}$	384	$7.90 \cdot 10^{-2}$	$1.47 \cdot 10^{-0}$
$\Omega_2^a$	1/50	3796	$1.32 \cdot 10^{-2}$	$4.49 \cdot 10^{-1}$	1802	$1.45 \cdot 10^{-2}$	$3.09 \cdot 10^{-1}$
$\Omega_3^a$	1/100	17459	$4.66 \cdot 10^{-3}$	$2.20 \cdot 10^{-1}$	10449	$3.57 \cdot 10^{-3}$	$1.48 \cdot 10^{-1}$
$\Omega_4^a$	1/200	101135	$2.05 \cdot 10^{-3}$	$9.61 \cdot 10^{-2}$	71111	$1.47 \cdot 10^{-3}$	$7.05 \cdot 10^{-2}$
rate	-	-	<b>1.18</b>	<b>1.19</b>	-	<b>1.28</b>	<b>1.07</b>



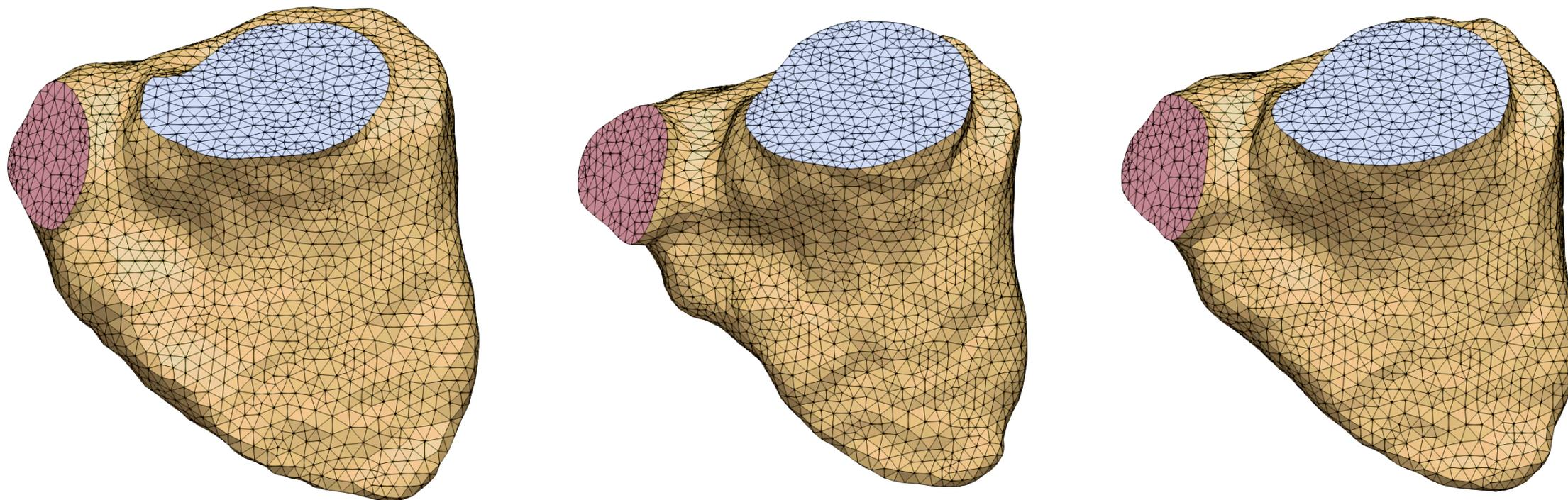


# Течение в правом желудочке

Размеры области – 122 мм x 64 мм x 116 мм (начальный момент).

Плотность крови –  $0.00106 \text{ г*мм}^{-3}$ ,

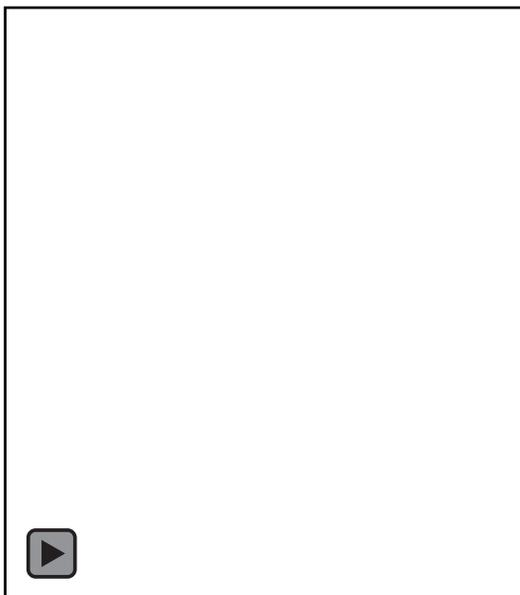
Вязкость крови –  $0.0035 \text{ г*мм}^{-1*\text{с}^{-1}}$



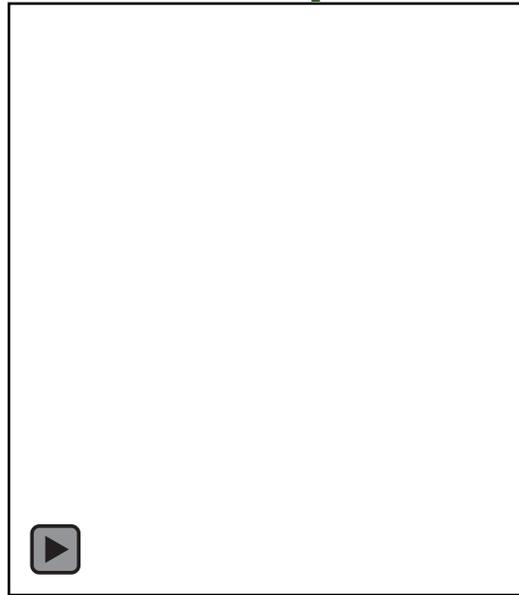
Сетка построена из сегментации последовательности снимков компьютерной томографии



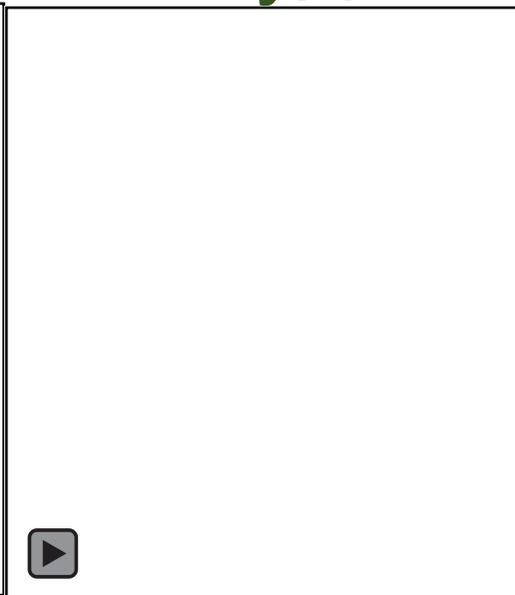
# Течение в правом желудочке



модуль  
Скорости



Давление

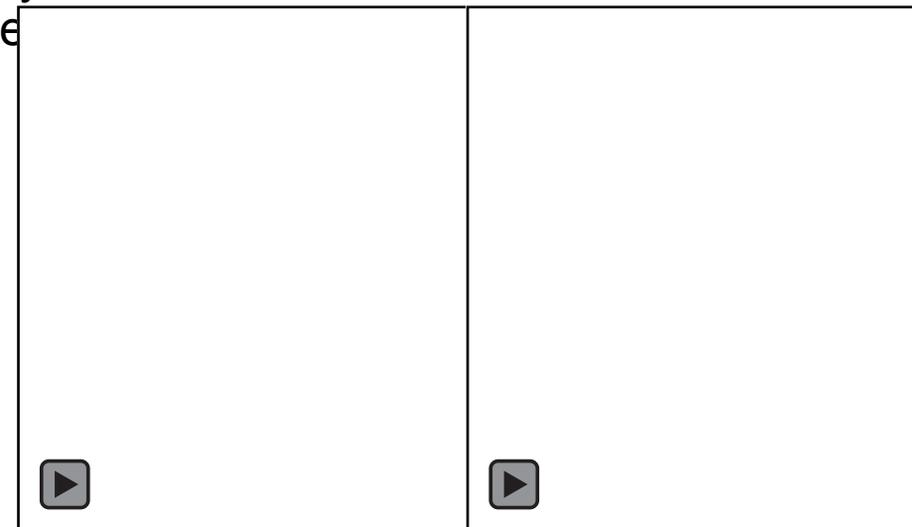


модуль  
Завихре

Параллельный  
расчет на 350 ядрах  
суперкомпьютера  
«Ломносов» 2



Особенность движения крови вызвана  
движением сетки и переключением клапанов

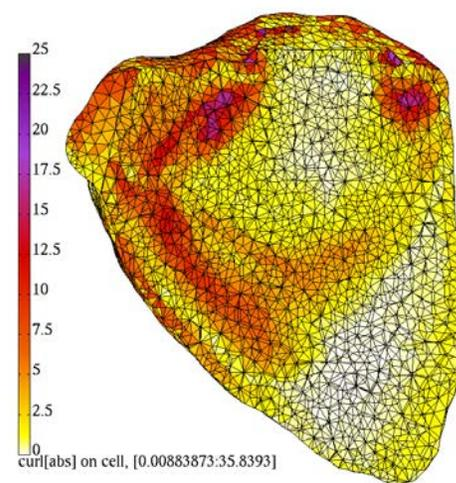
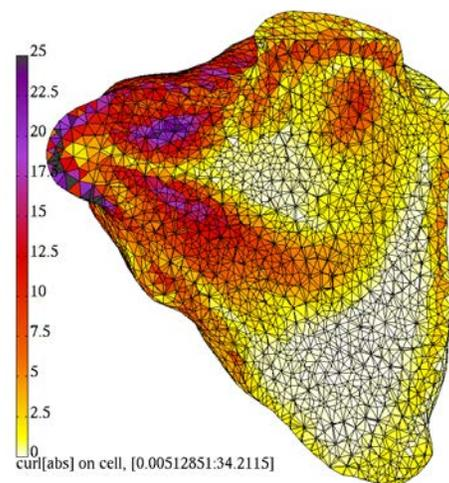
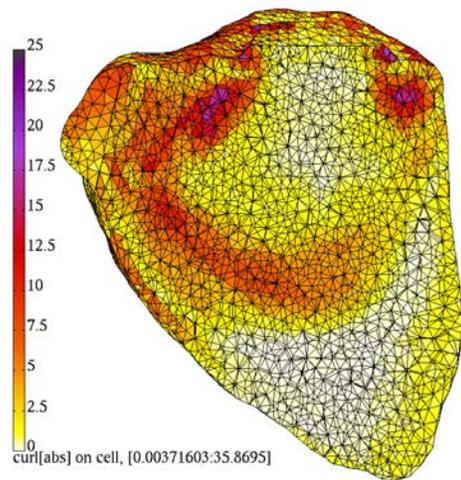


Распределение

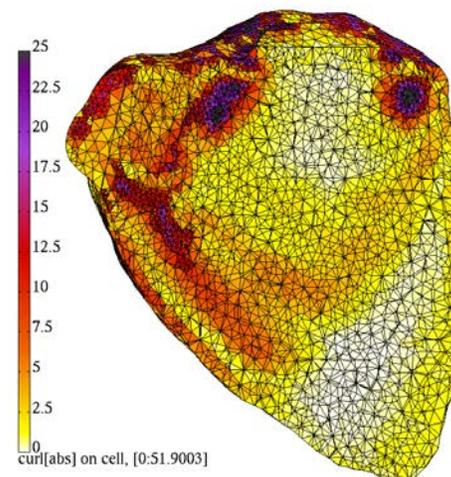
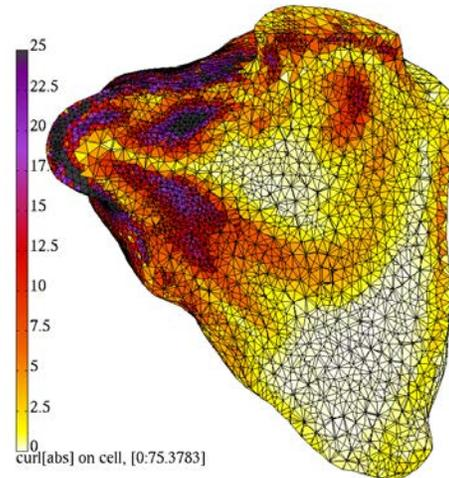
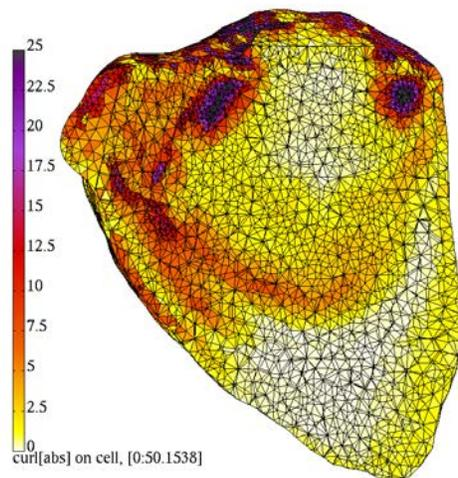
Сетка



# Течение в правом желудочке



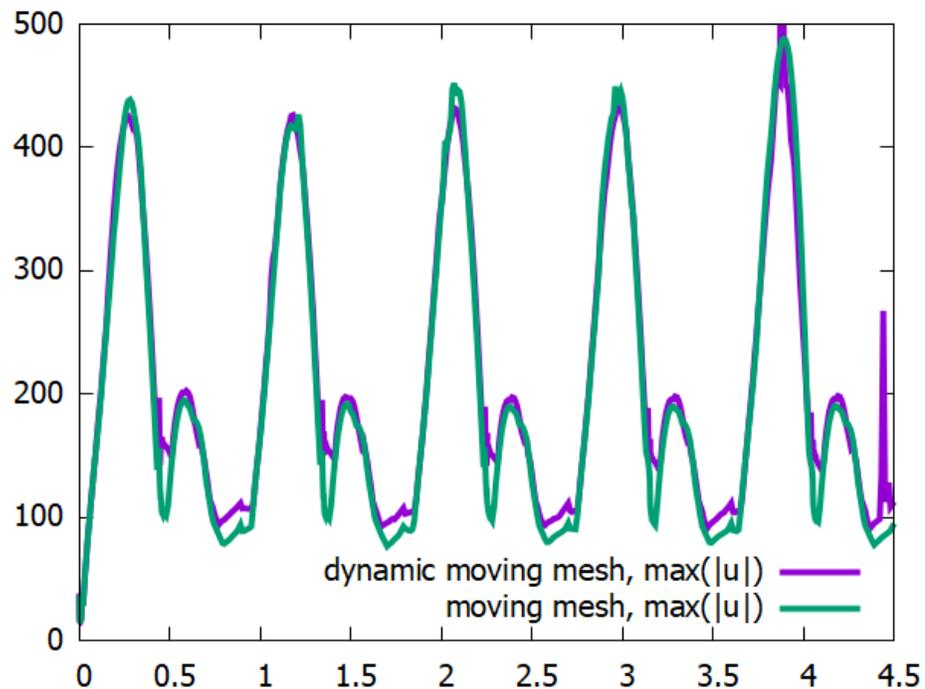
Завихренность  
без адаптации  
сетки



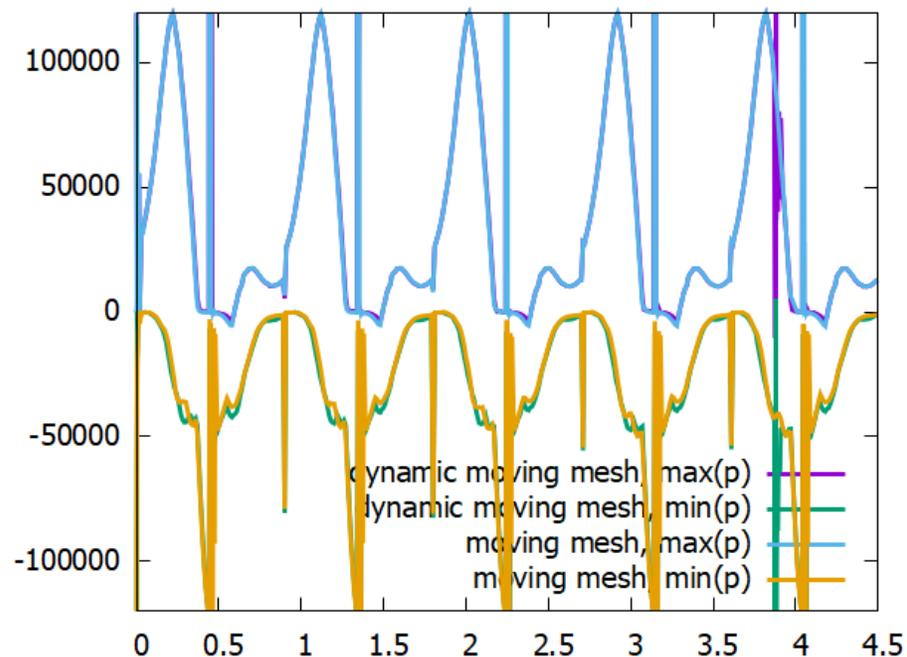
Завихренность  
с адаптацией  
сетки



# Течение в правом желудочке



Максимальная скорость, мм\*с<sup>-1</sup>

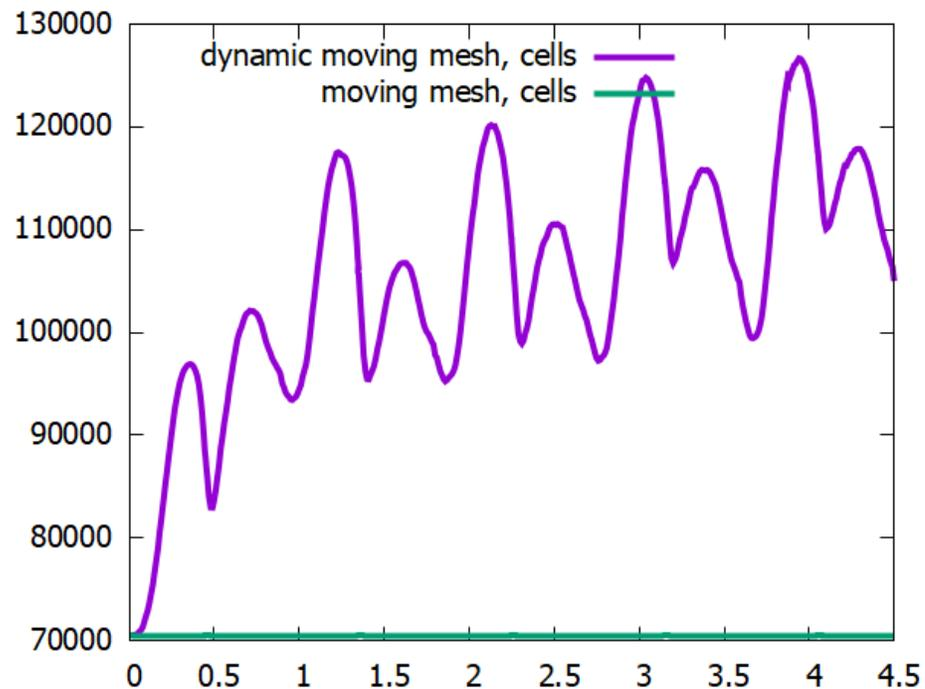


Максимальное и минимальное давления (нормализованное по плотности), мм<sup>2</sup>\*с<sup>-2</sup>

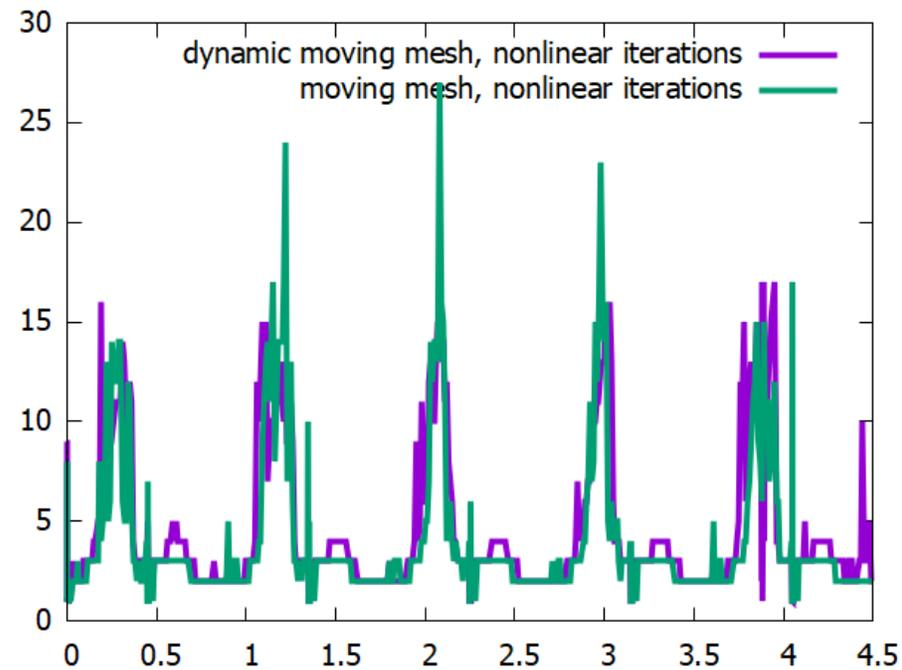
Резкие скачки давления при открытии и закрытии клапанов



# Течение в правом желудочке



Изменение числа ячеек при адаптации



Число нелинейных итераций

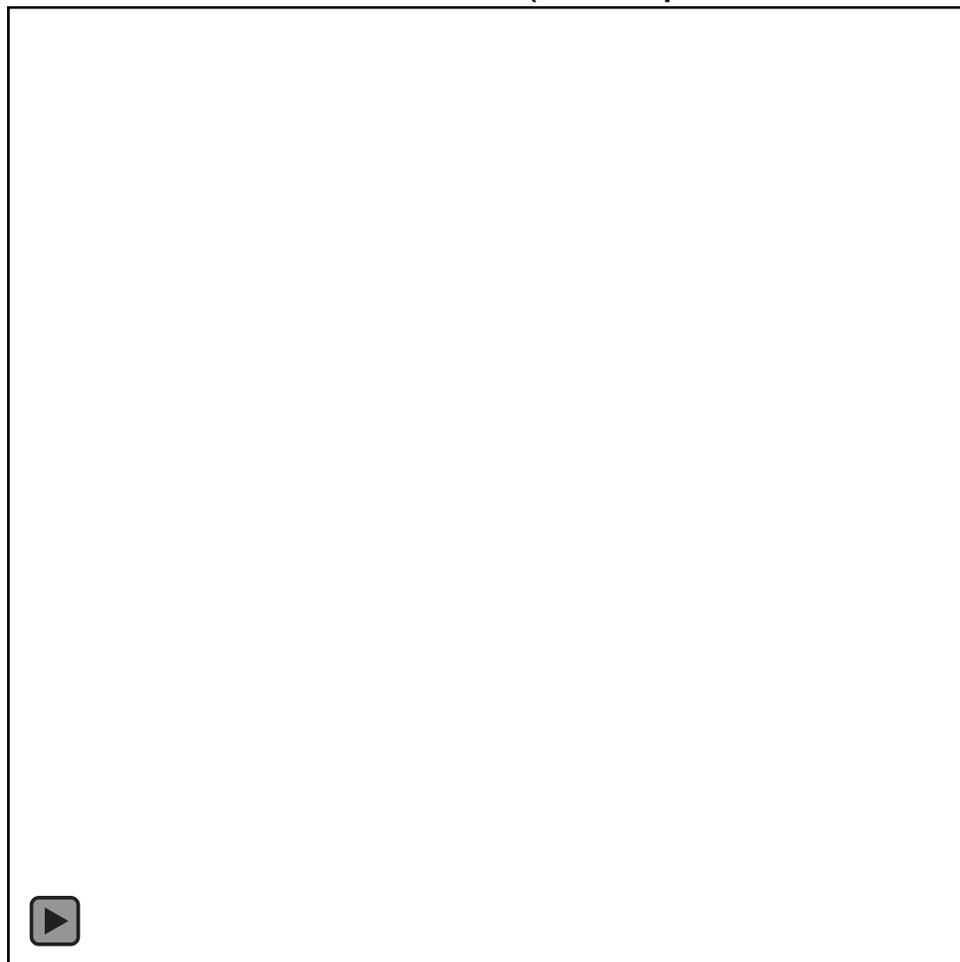
Рост числа нелинейных итераций при открытии и закрытии клапанов



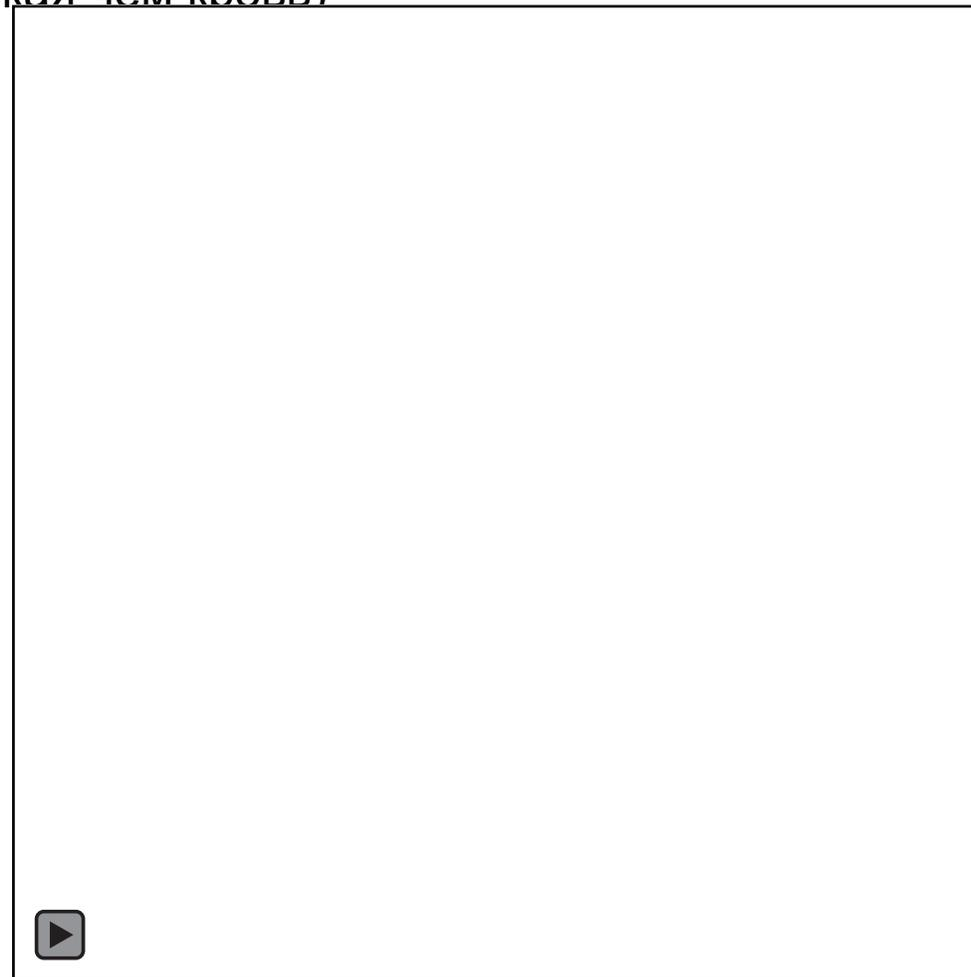
# Подвижные динамические сетки

Плотность –  $0.00105 \text{ г*мм}^{-3}$ ,

Вязкость –  $0.000042 \text{ г*мм}^{-1}\text{*с}^{-1}$  (в сто раз менее вязкая чем кровь)



**Сгущение к модулю завихренности**



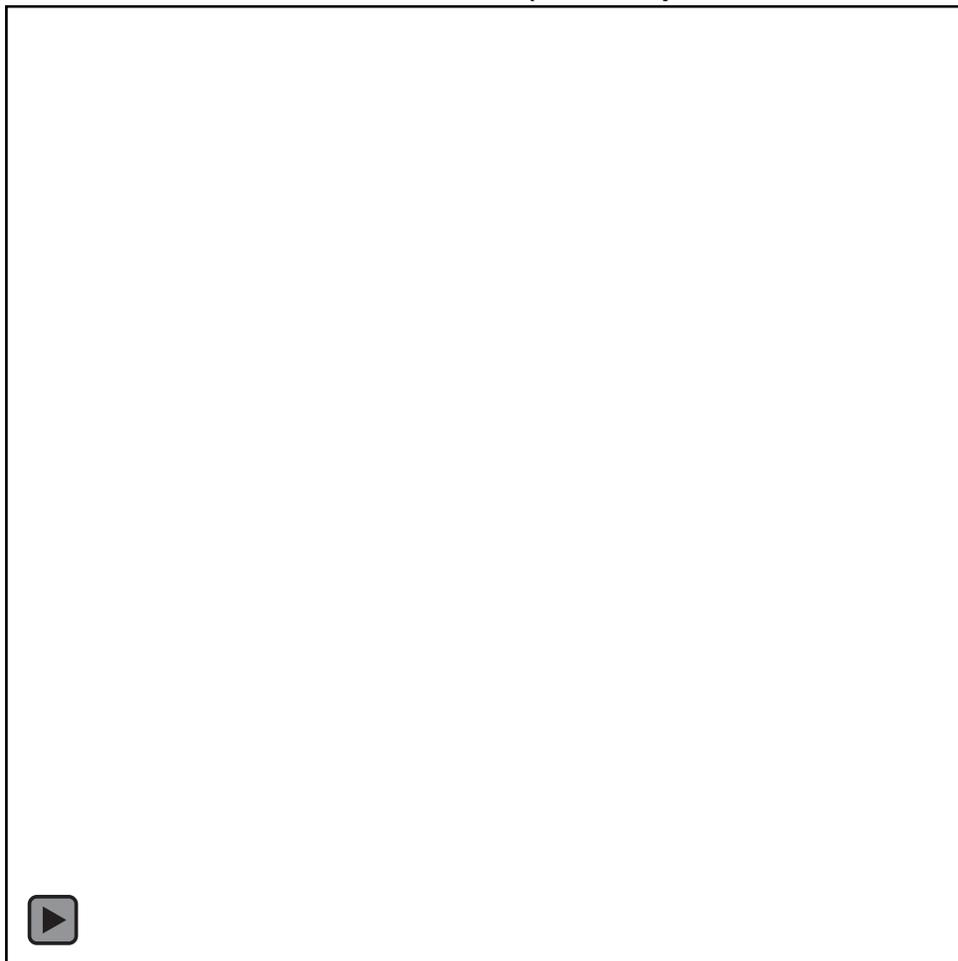
**Сетка**



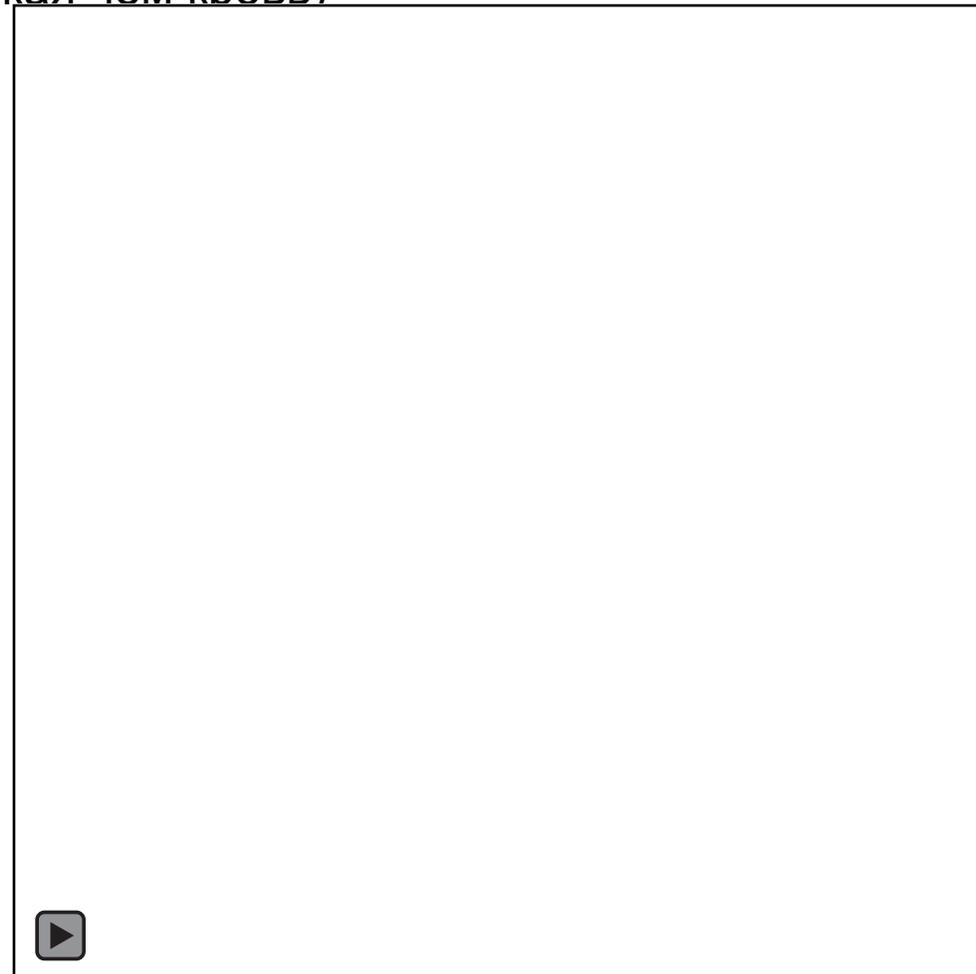
# Подвижные динамические сетки

Плотность –  $0.00105 \text{ г*мм}^{-3}$ ,

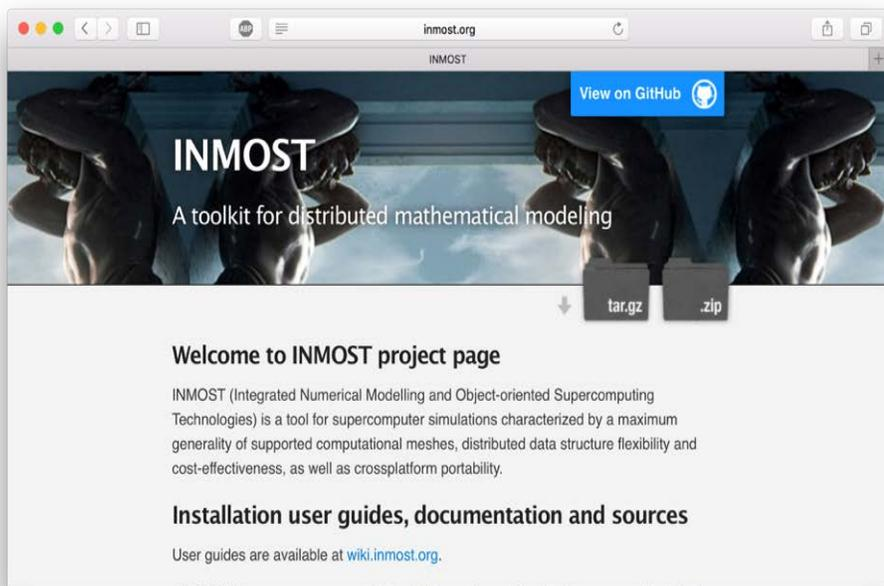
Вязкость –  $0.000042 \text{ г*мм}^{-1}\text{*с}^{-1}$  (в сто раз менее вязкая чем кровь)



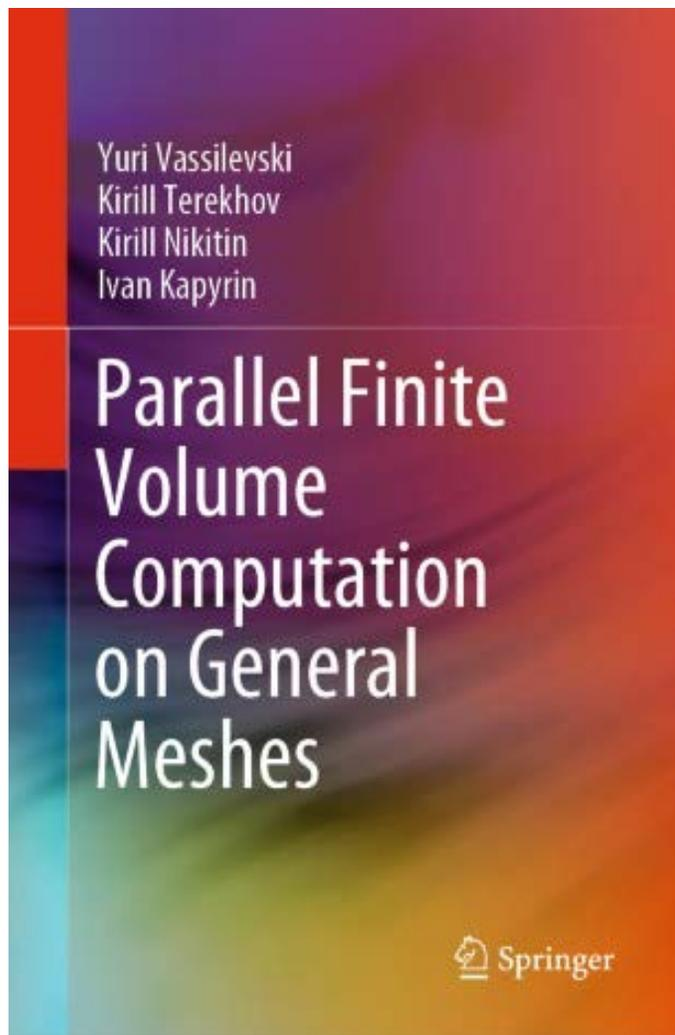
**Сгущение к модулю завихренности**



**Распределение сетки**



Адреса:  
[www.inmost.org](http://www.inmost.org)  
[www.inmost.ru](http://www.inmost.ru)



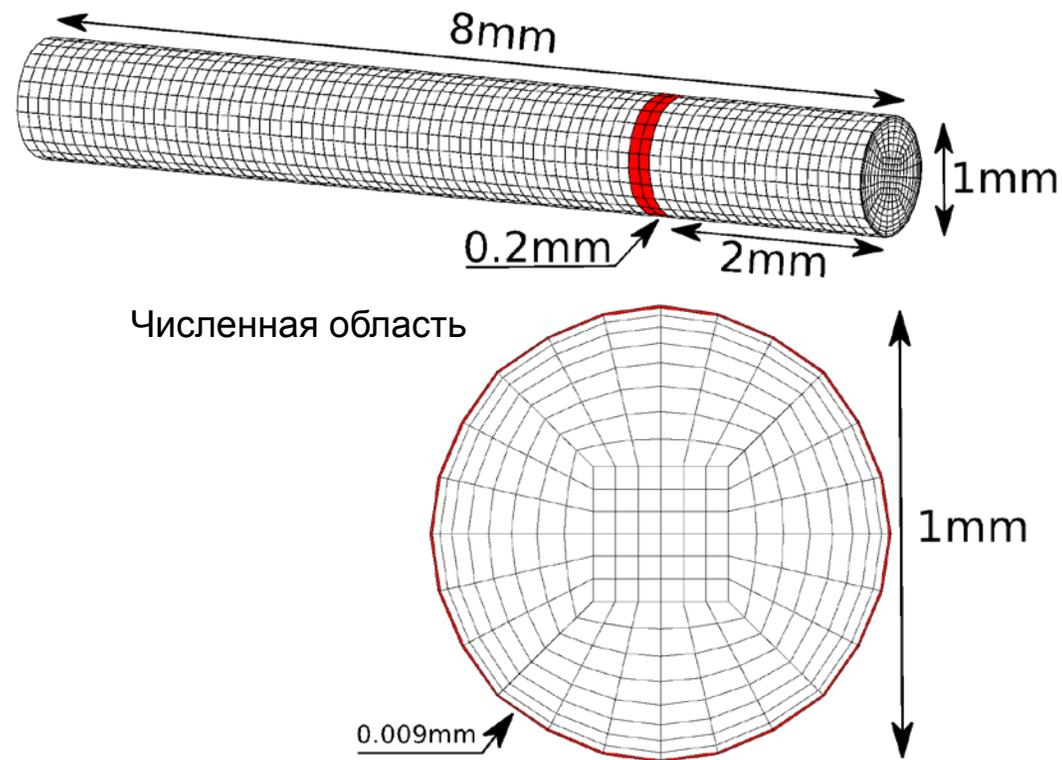
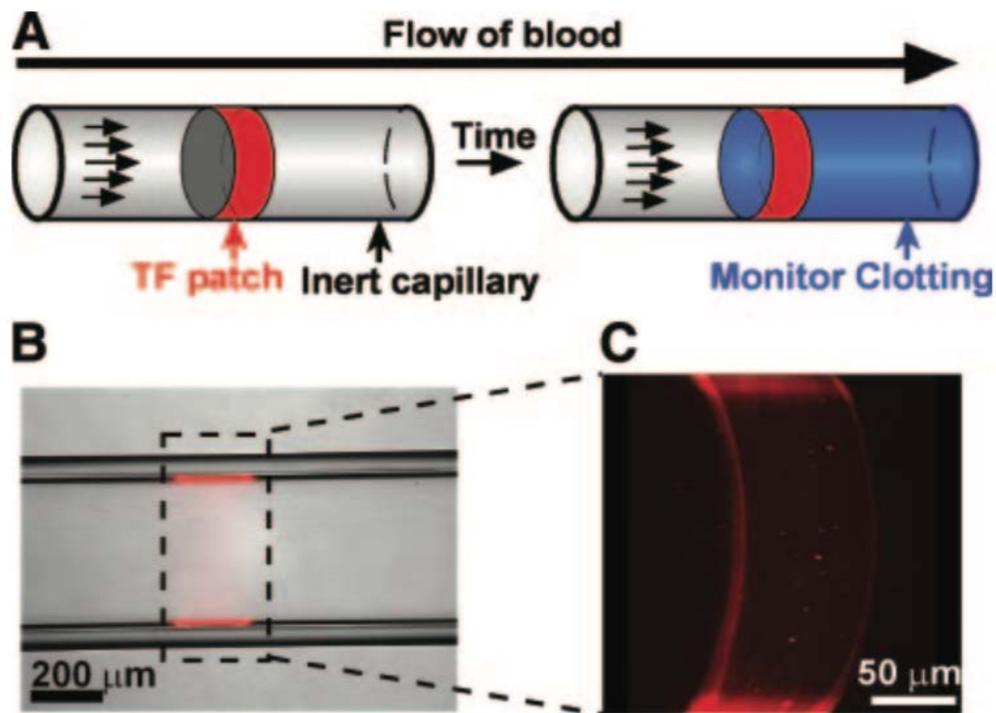
Более **20** статей

# Расчеты свертывания крови

верификация и эффект движения геометрии



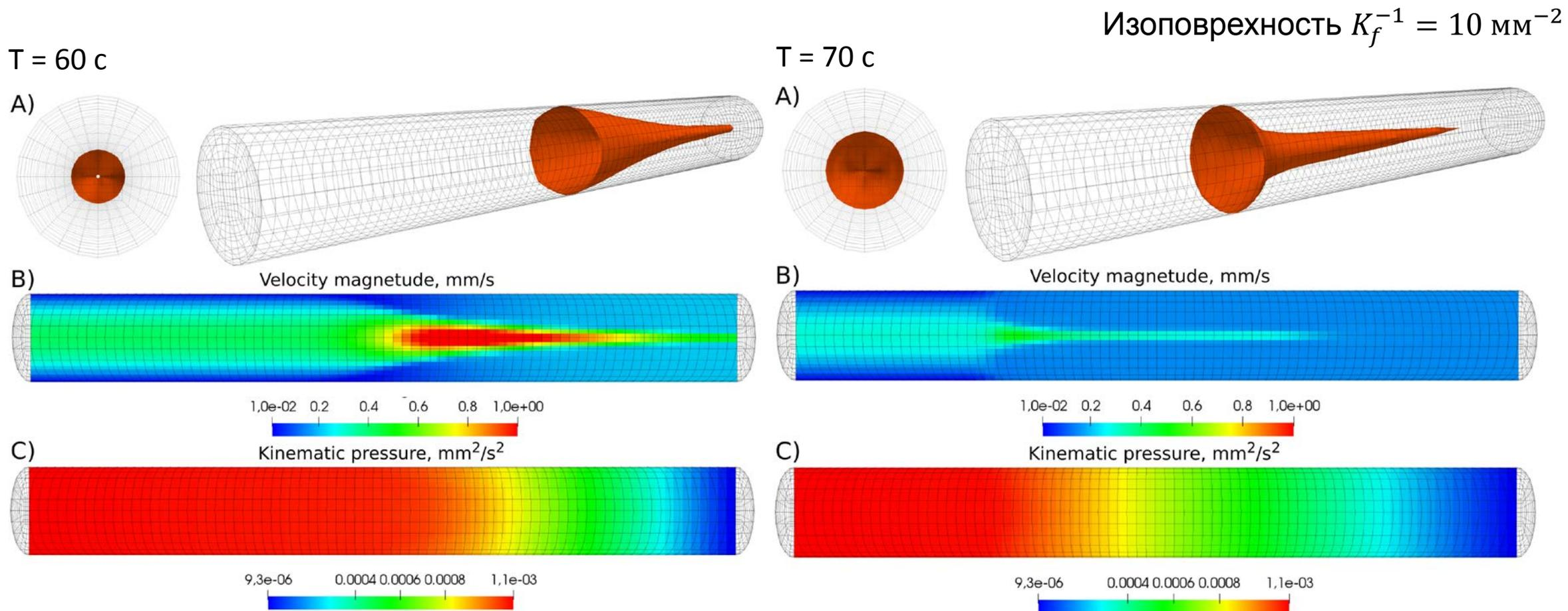
# Образование красного тромба



Shen F., Kastrup C.J., Liu Y., Ismagilov R.F.: *Threshold response of initiation of blood coagulation by tissue factor in patterned microfluidic capillaries is controlled by shear rate.* *Arteriosclerosis, thrombosis, and vascular biology.* 2008, 28(11): 2035–2041.



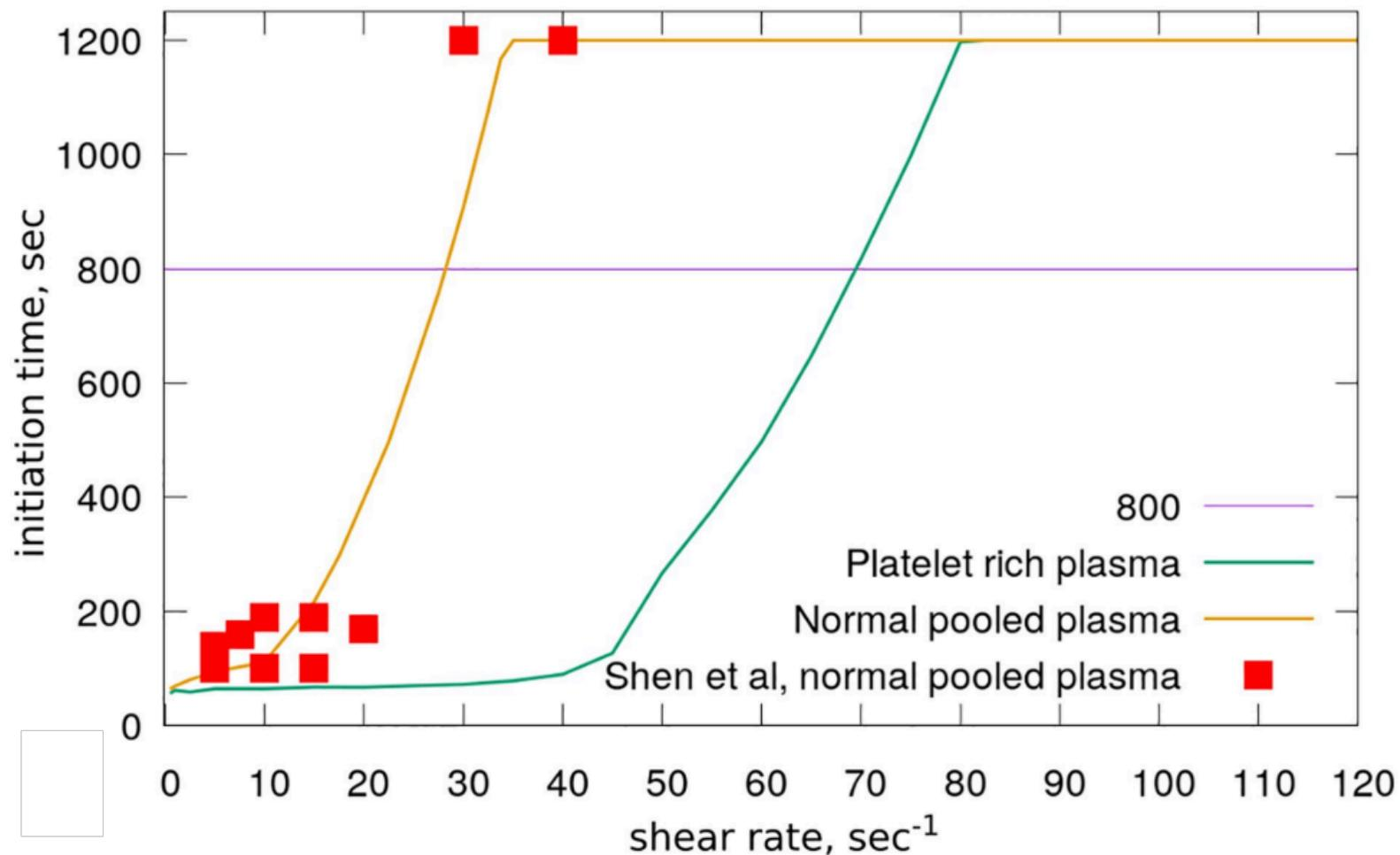
# Эксперимент в микро-капиллярах



Насыщенная тромбоцитами плазма крови, сдвиговая скорость  $25 \text{ с}^{-1}$



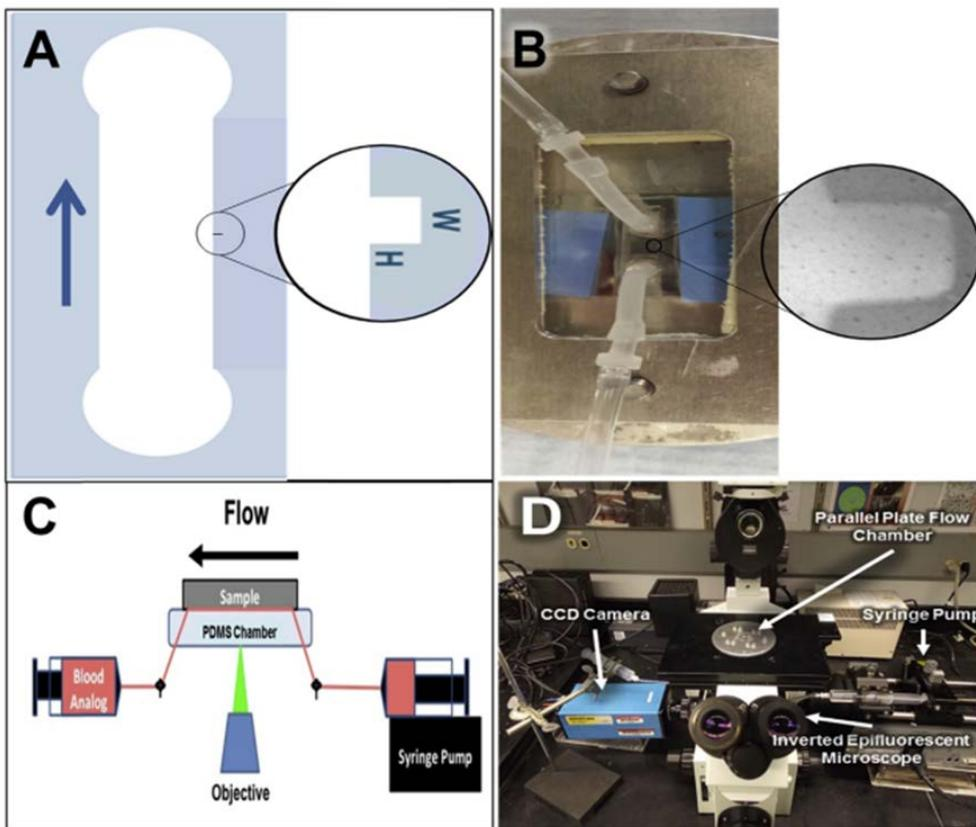
# Сравнение модели с экспериментом



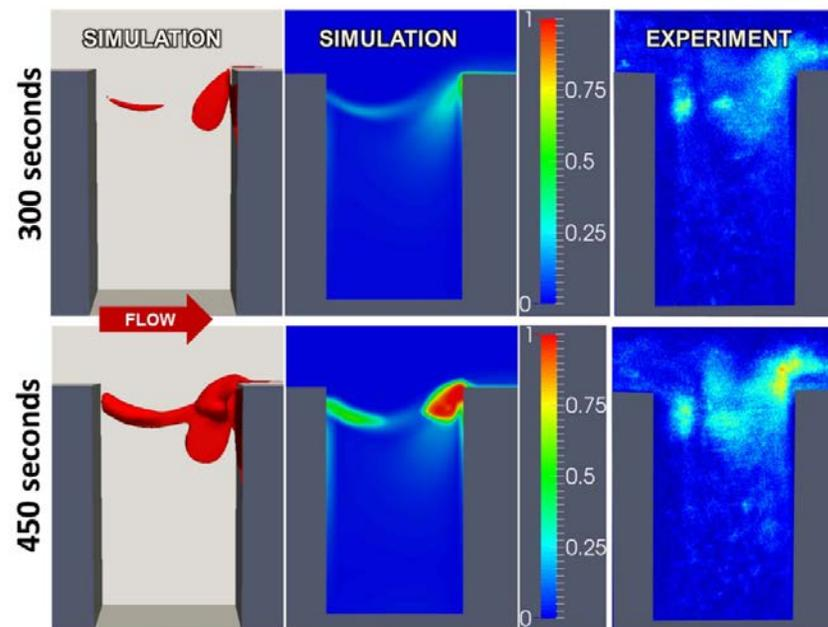
Bouchnita, A., Terekhov, K., Nony, P., Vassilevski, Y., & Volpert, V.: ***A mathematical model to quantify the effects of platelet count, shear rate, and injury size on the initiation of blood coagulation under venous flow conditions.*** PloS one, 15(7), e0235392, 2020



# Образование белого тромба



Jamiolkowski et al. (2016). Visualization and analysis of biomaterial-centered thrombus formation within a defined crevice under flow. *Biomaterials*, 96, 72-83.



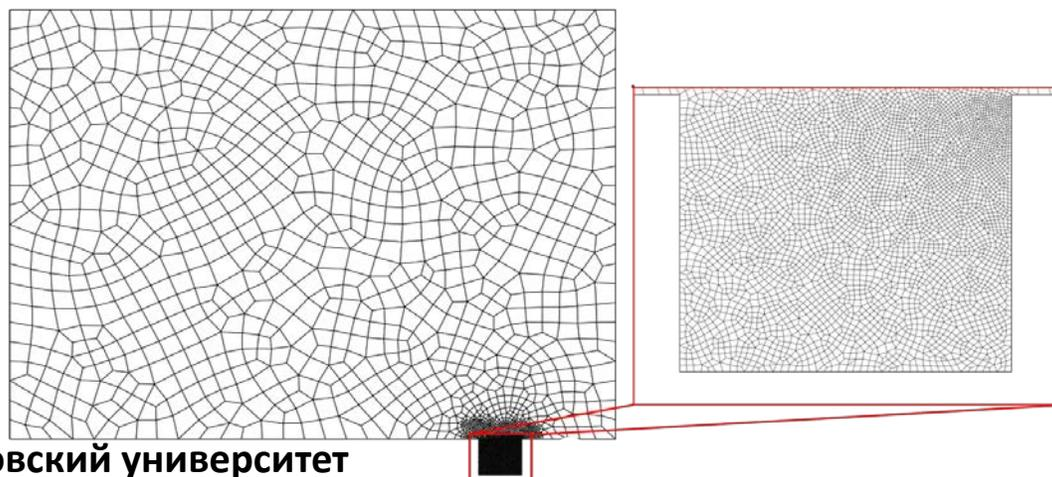
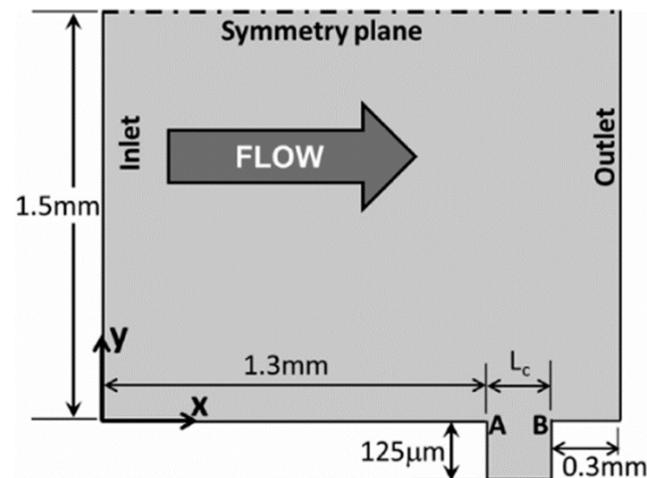
Wei-Tai Wu et al, (2017). Multi-constituent simulation of thrombus deposition. *Scientific reports*, 7(1), 1-16. (Модель из В. Sorensen)



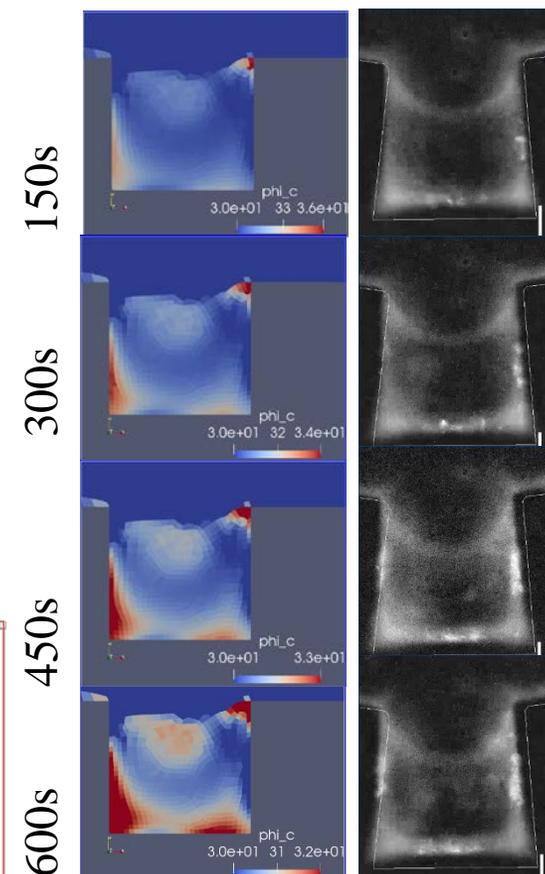
# Сравнение с экспериментом

Отличие от предыдущего теста:

- Нет факторов свертываемости.
- Сильное действие антикоагулянта.
- Слабая роль фибрин-полимера (**красный**).
- Сильная роль тромбоцитов (**белый**).
- Текущая модель плохо улавливает динамику роста белых тромбов.



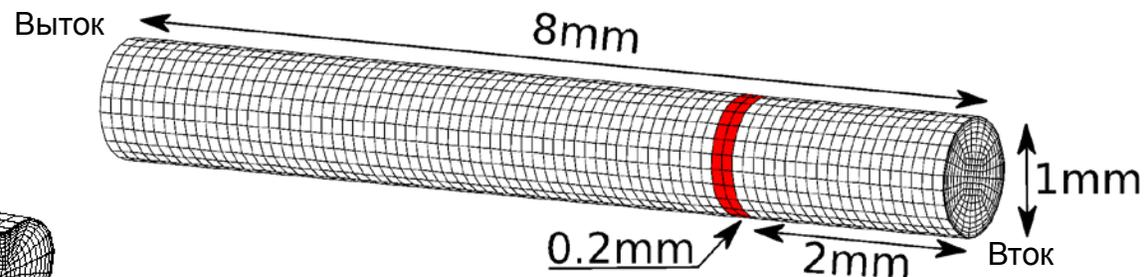
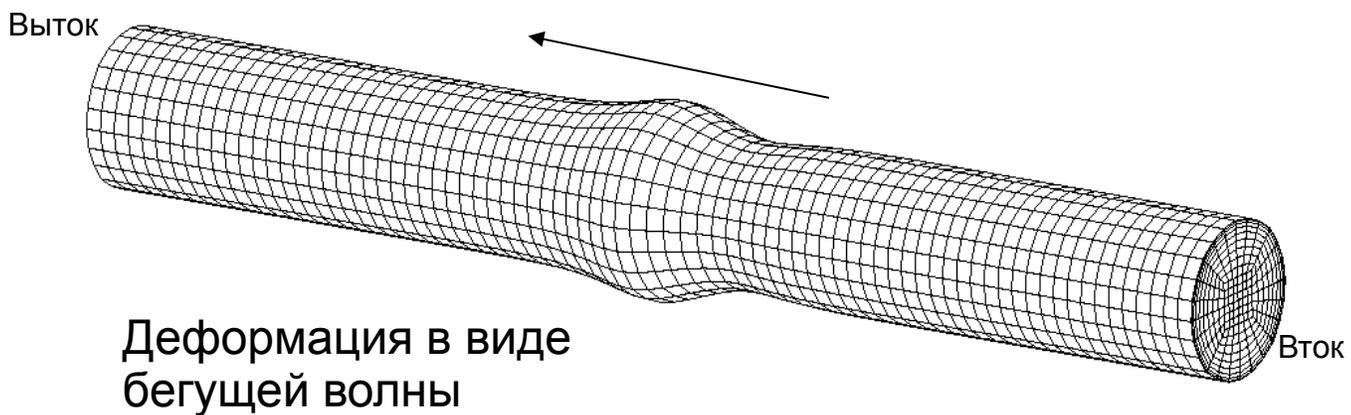
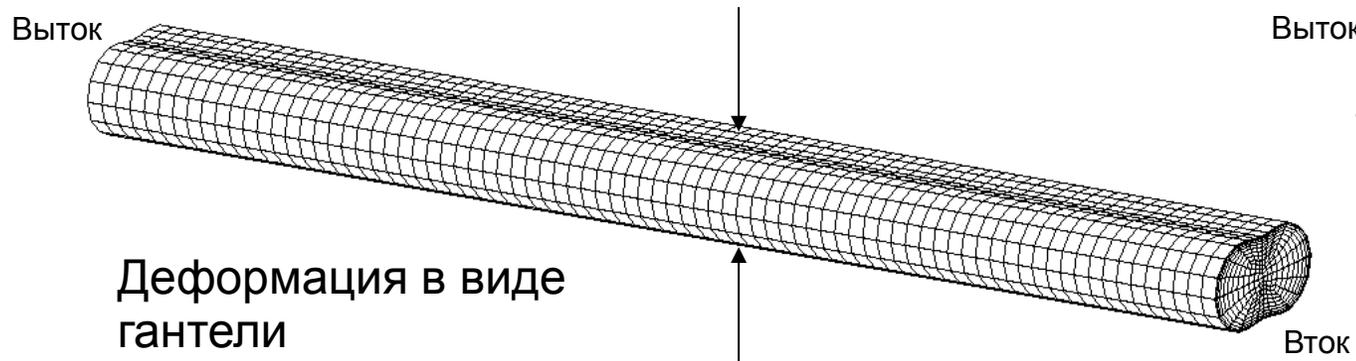
Расчеты Надежды Суловой, Сеченовский университет



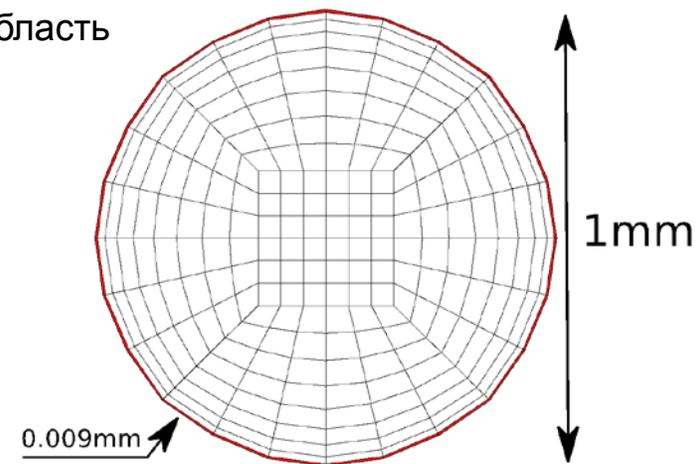
Распределение тромбоцитов



# Подвижные стенки



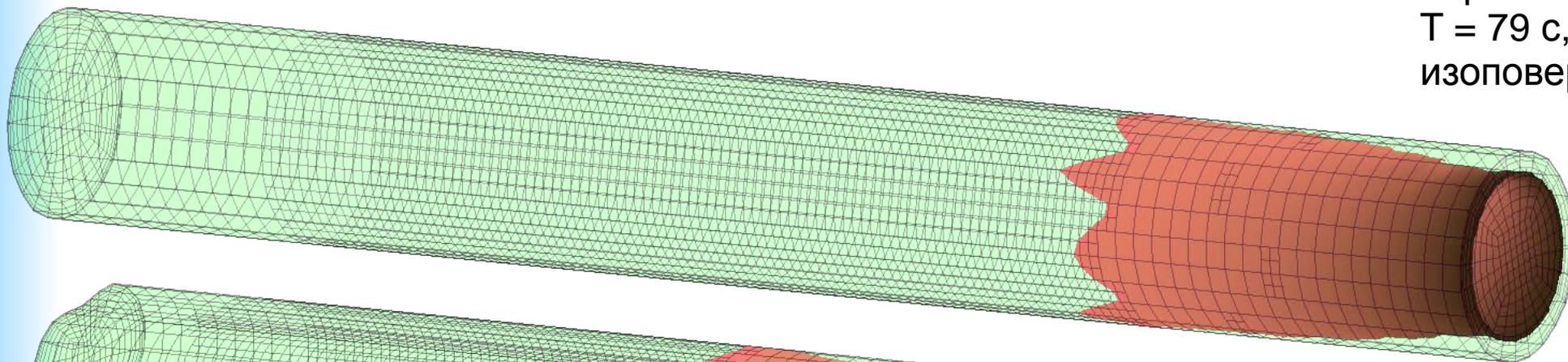
Исходная область



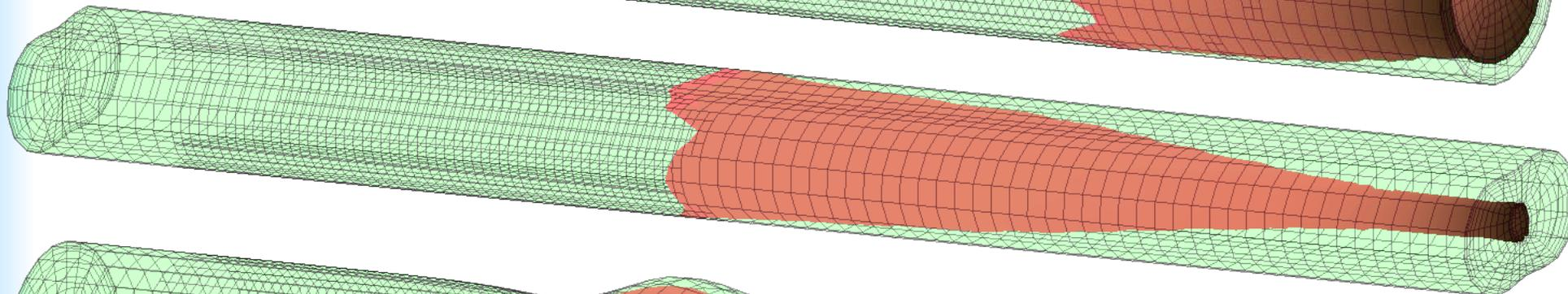


# Подвижные стенки

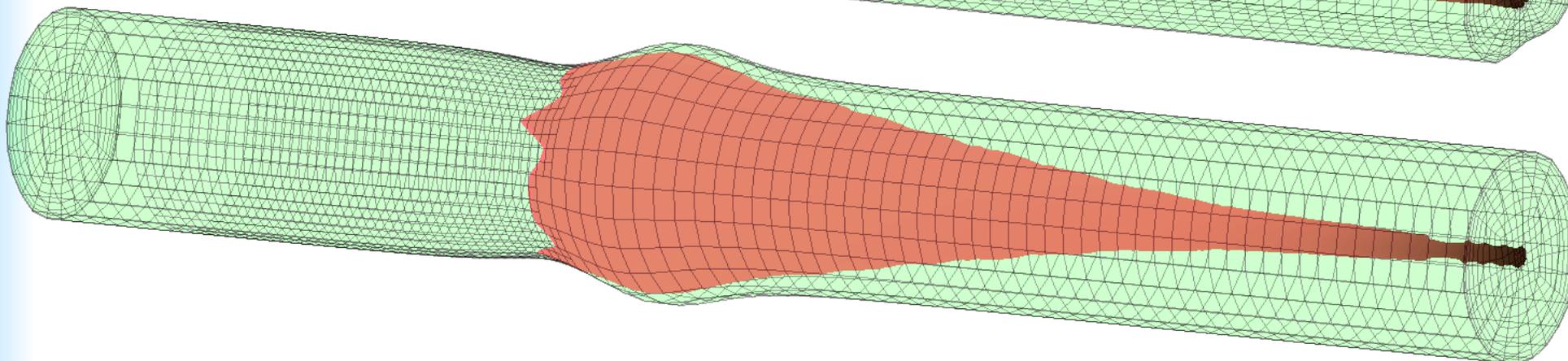
скорость сдвига  $20 \text{ с}^{-1}$ ,  
нормальная плазма,  
 $T = 79 \text{ с}$ ,  
изоповерхность  $K_f^{-1} = 100 \text{ мм}^{-2}$



ВыТОК



ВыТОК

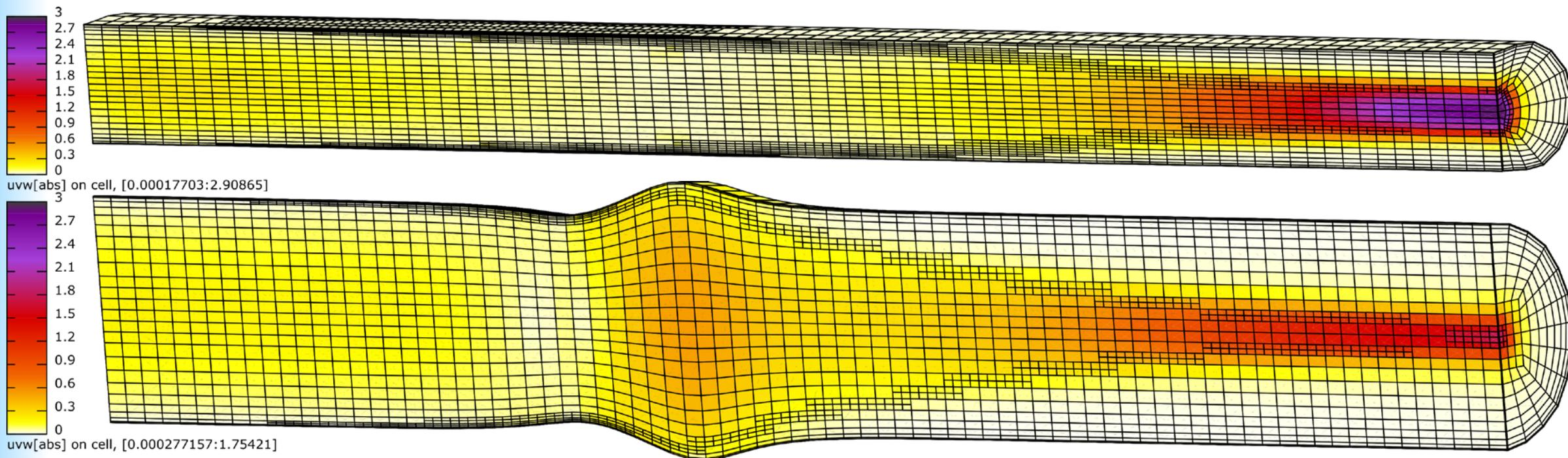


ВыТОК



# Подвижные стенки

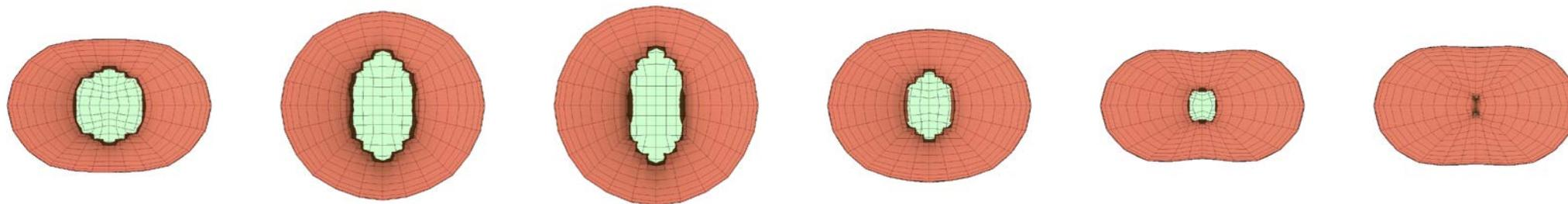
скорость сдвига  $20 \text{ с}^{-1}$ ,  
нормальная плазма,  
 $T = 79 \text{ с}$ ,  
сгущение  $1 \leq K_f^{-1} \leq 100 \text{ мм}^{-2}$



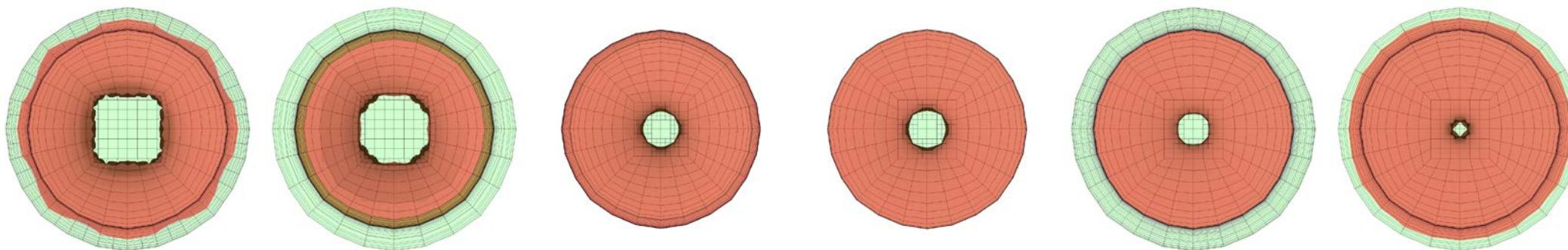


# Подвижные стенки

скорость сдвига  $20 \text{ с}^{-1}$ ,  
нормальная плазма,  
изоповерхность  $K_f^{-1} = 100 \text{ мм}^{-2}$



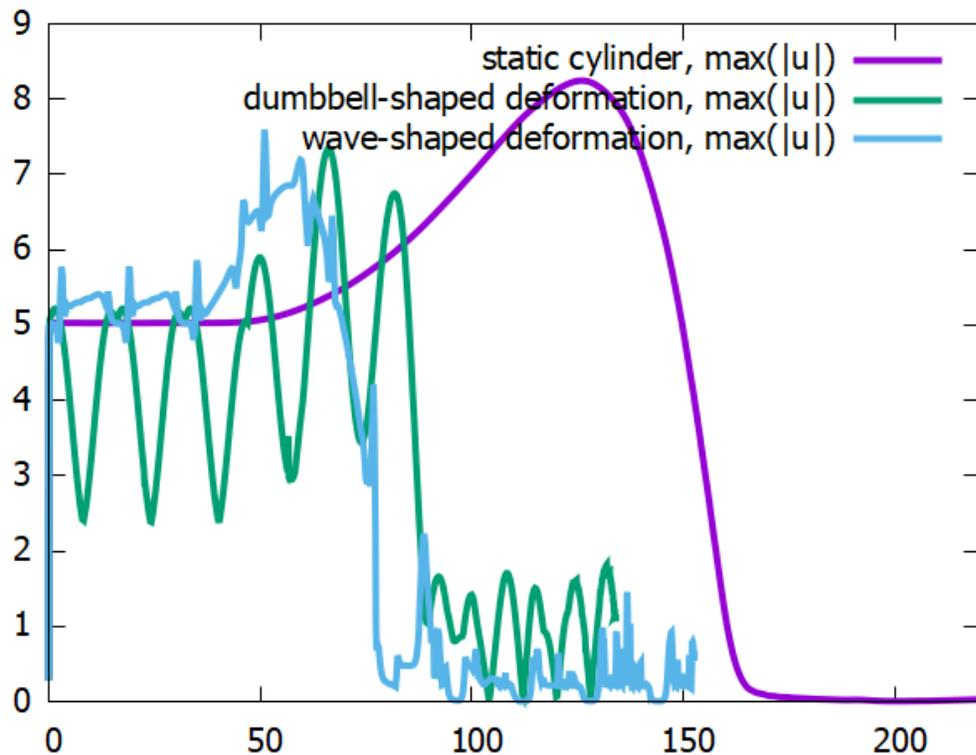
Изоповерхность тромба в профиль, деформация в виде гантели, шаг 3 с до  $T = 90 \text{ с}$



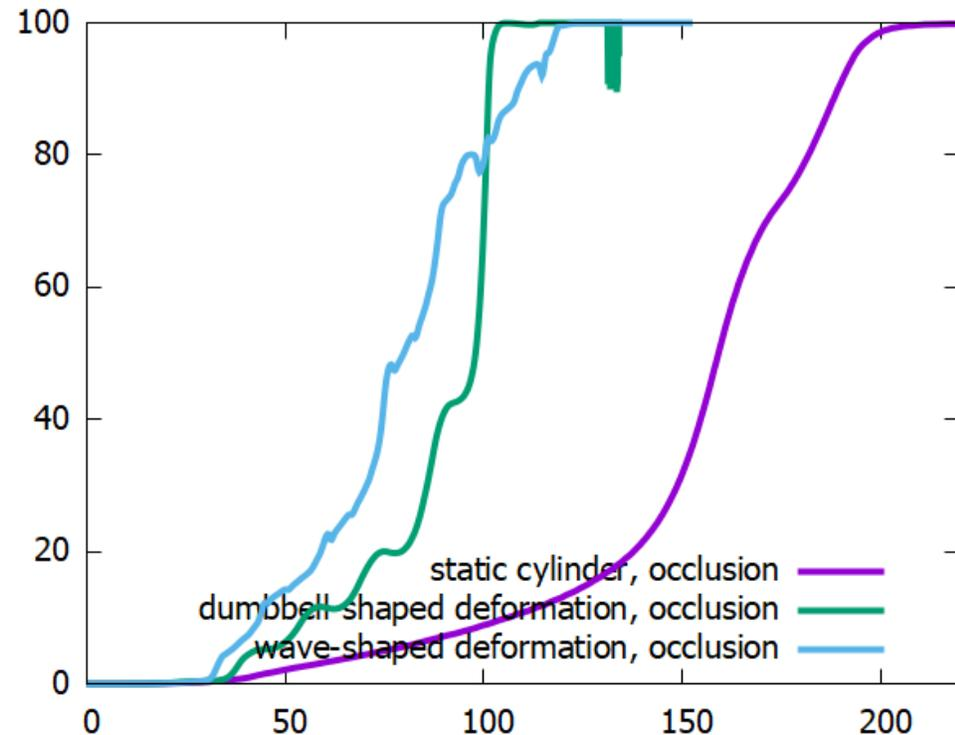
Изоповерхность тромба в профиль, деформация в виде бегущей волны, шаг 3 с до  $T = 87 \text{ с}$



# Подвижные стенки



Максимальная скорость

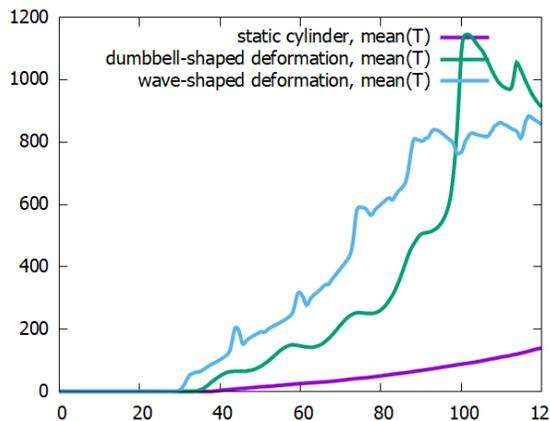


Перекрытие канала по  $K_f^{-1} \geq 100 \text{ мм}^{-2}$

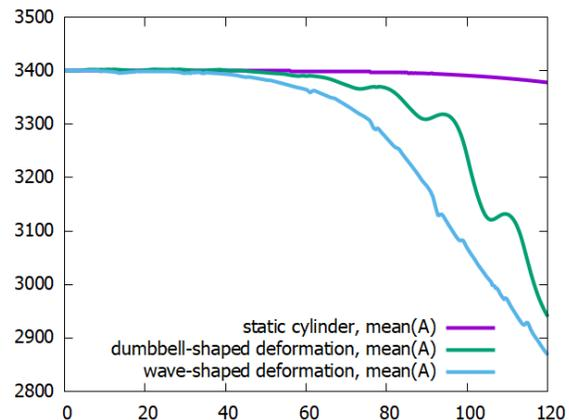
Время перекрытия в эксперименте при сдвиговой скорости  $20 \text{ с}^{-1}$ :  $T \approx 180 \text{ с}$



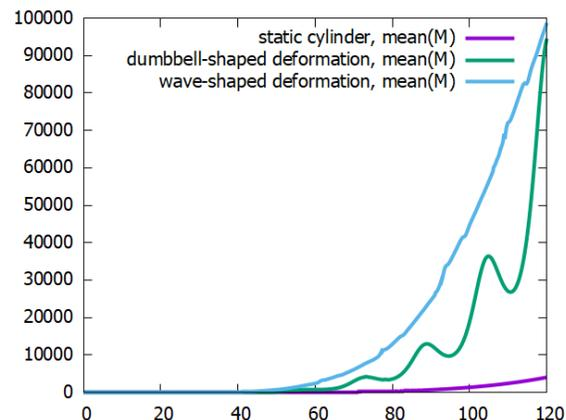
# Подвижные стенки



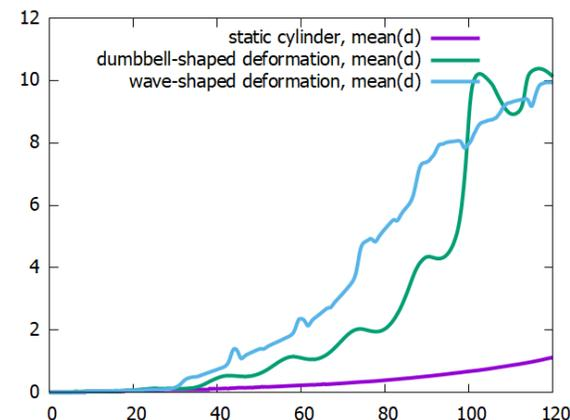
Тромбин



Антитромбин



Фибрин-полимер



Активные тромбоциты

Эволюция средней по объему концентрации факторов крови

## Спасибо за внимание

### Контакты

- [KIRILL.TERENOV@GMAIL.COM](mailto:KIRILL.TERENOV@GMAIL.COM)
- [YURI.VASSILEVSKI@GMAIL.COM](mailto:YURI.VASSILEVSKI@GMAIL.COM)

### Ссылки

- [WWW.INMOST.ORG](http://WWW.INMOST.ORG)
- [WWW.INMOST.RU](http://WWW.INMOST.RU)

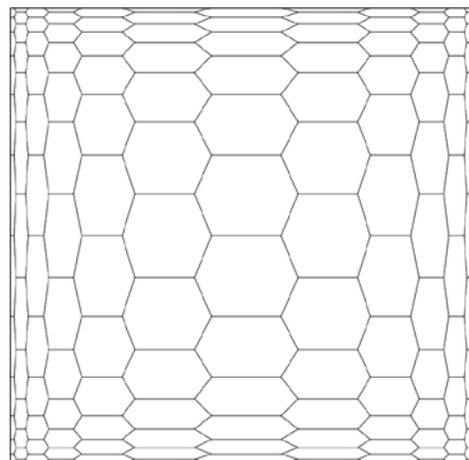
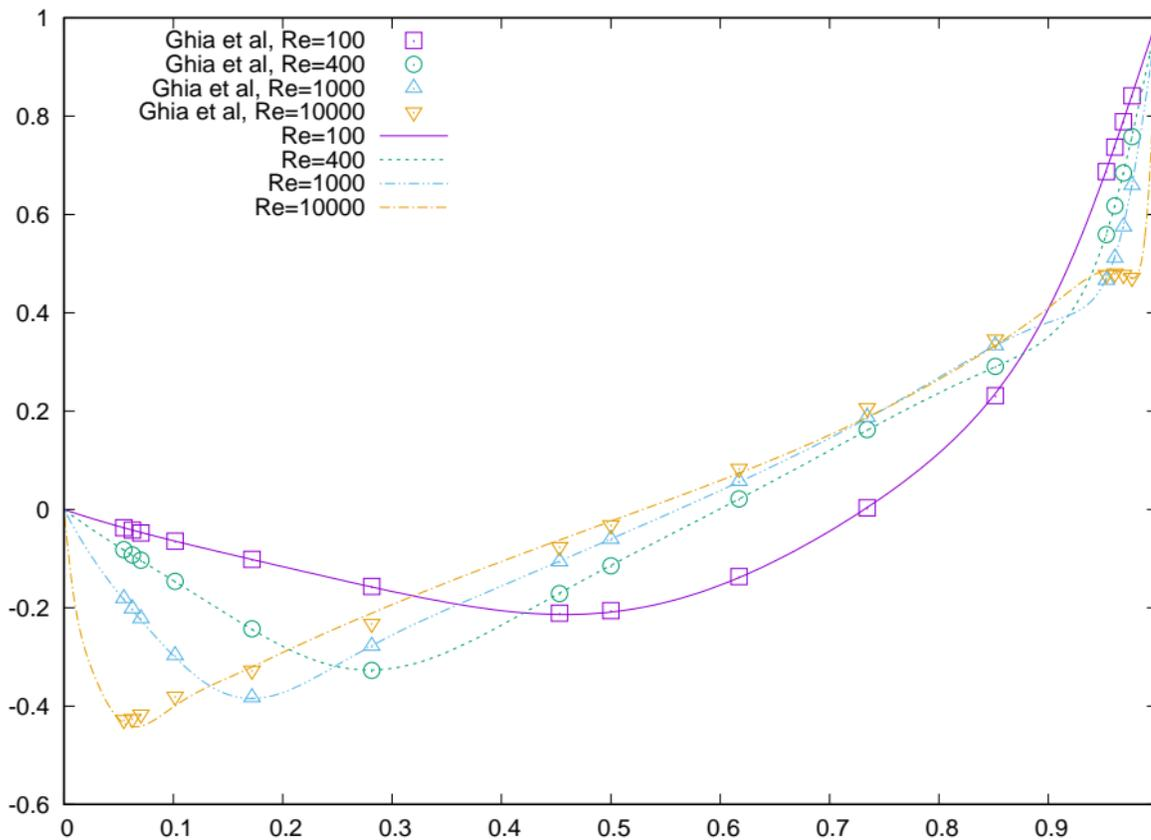
### Поддержано грантами:

- [РНФ 21-71-20024 – численные методы](#)
- [Мат. Центр 075-15-2019-1624 – адаптивные сетки](#)

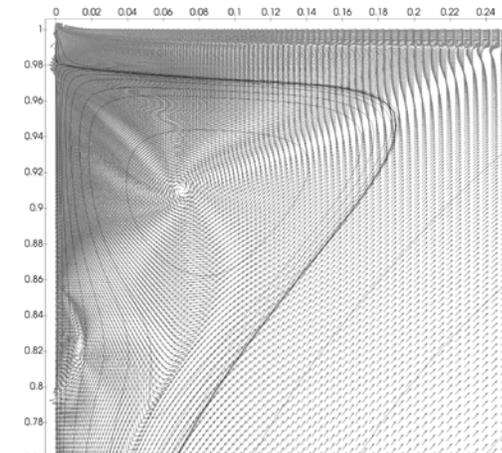


# Верификация: каверна

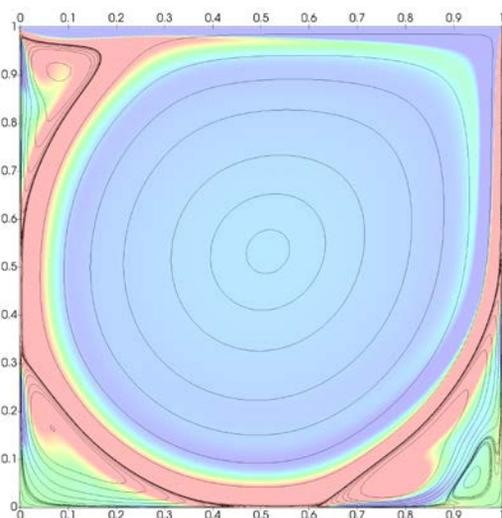
- Сравнение с данными Ghia et al.



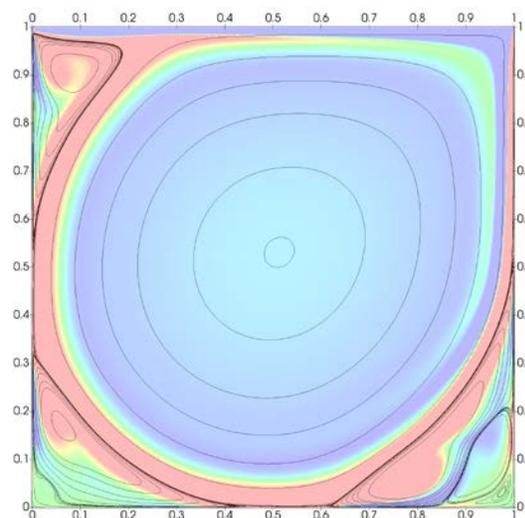
Гексагональная сетка



Третичный вихрь



Re = 10000

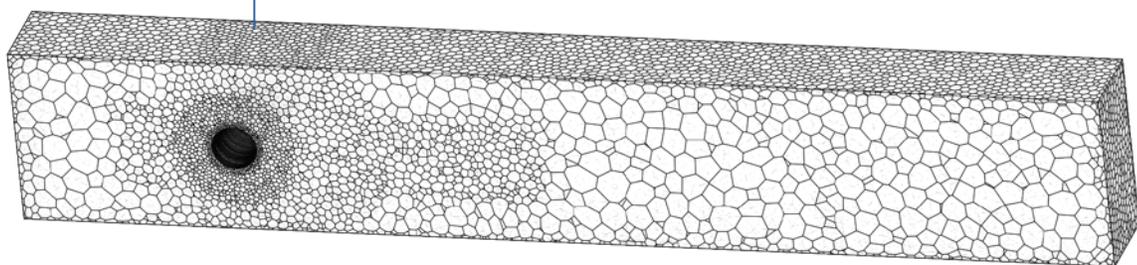


Re = 16000



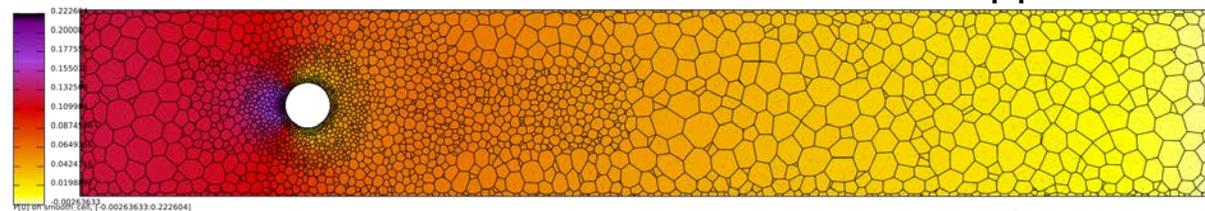
# Верификация: обтекание цилиндра

Уровень сетки	Число ячеек	Лобовая сила	Подъемная сила	Падение давления
1	910	3.862	-0.08556	0.1481
2	4328	4.964	-0.02525	0.1854
3	24687	5.515	0.07256	0.1672
4	164806	5.876	0.00803	0.1890
3†	53211	6.064	0.01015	0.1801
3‡	98517	6.155	0.01006	0.1792
Schäfer & Turek [23]	-	6.05-6.25	0.008-0.01	0.165-0.175
Braack & Richter [7]	-	<u>6.185331</u>	<u>0.00940</u>	<u>0.1713</u>



Многогранные сетки с сгущением

Давление



Скорость

